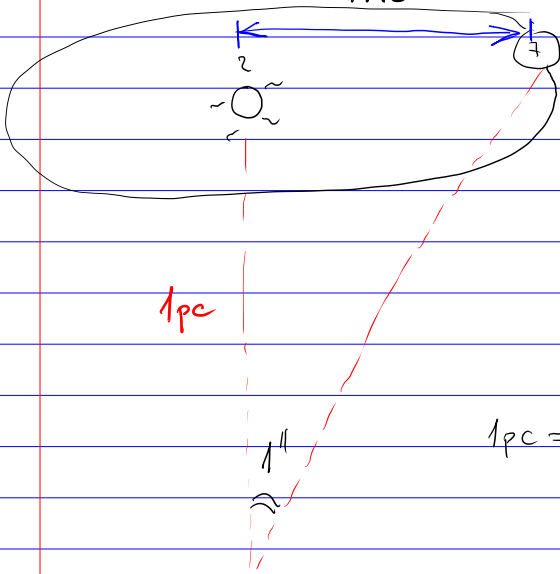


## Veličine i jedinice

$$1 \text{ AU} = 150 \text{ milijuna km} = 1.5 \times 10^{11} \text{ m} \quad (\text{astronomska jedinica})$$



parsek:

$$\frac{1 \text{ AU}}{1 \text{ pc}} \sim 1'' = \frac{1}{60^2} \cdot \frac{\pi}{180}$$

$$1 \text{ pc} = 1 \text{ AU} \cdot \frac{180 \cdot 60^2}{\pi} = 3.09 \times 10^{16} \text{ m}$$

$$(\approx 3.26 \text{ godine svjetlosti})$$

- udaljenost do bliskih zvijezda  $\sim \text{pc}$
- polumjer naše galaksije  $\sim 15 \text{ kpc}$
- udaljenost do M31  $\sim 1 \text{ Mpc}$
- skala homogenosti  $\sim 100 \text{ Mpc}$
- polumjer vidljivog svemira  $\sim 14 \text{ Gpc}$

- starost svemira  $13.7 \text{ Ga}$

- snaga Sunca:  $L_{\odot} = 3.8 \times 10^{26} \text{ W}$

- vidljiv svemir:  $100 \text{ milijardi galaksija} \times 100 \text{ milijardi zvijezda}$   
 $= 10^{22} \text{ zvijezda} \quad (\sim 10^{24})$

- ukupna prosječna gustoća materije i energije

$$\rho \approx \rho_c = 10^{-26} \text{ kg/m}^3$$

$$(\approx 5 \text{ protona po m}^3)$$

# Temeljna kozmološka opažanja

## 1. Kozmološko načelo

Svemir je homogen i izotropan.

isti u svakoj točki

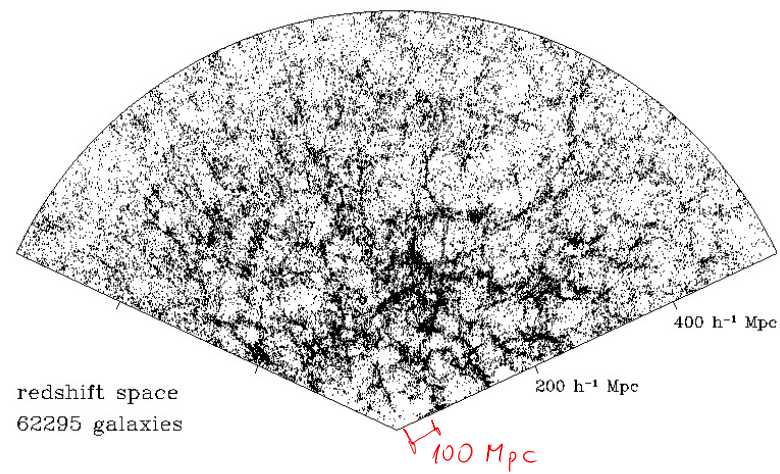
isti u svakom smjeru

opažanja kombiniramo s idejama o evoluciji u vremenu

opažamo izravno

(daleke dijelove svemira vidimo u prošlosti)

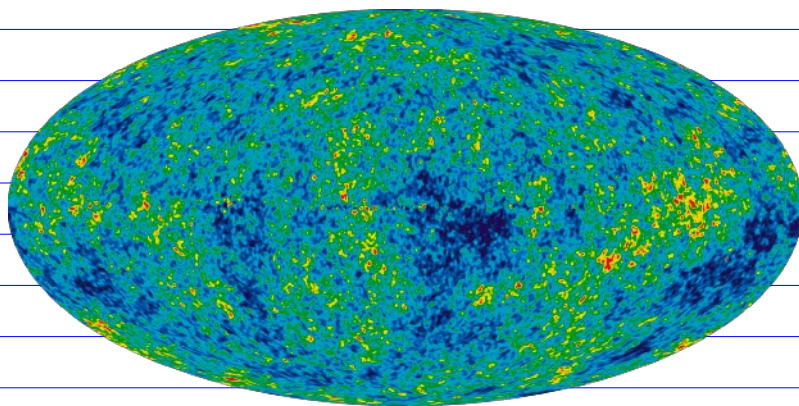
Izravna opažanja raspodjele galaksija (npr. Sloan) daju solidan podršku homogenosti na skalama 100-300 Mpc. (cf. "Sloan great wall" ... M. Juric)



$$h^{-1} \approx 2.$$

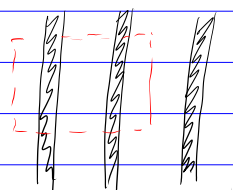
Kozmičko pozadinsko mikrovjetro zračenje (CMB) je izotropno  $1:10^5$  što je snažna podrška kozmološkom načelu. (Eventualne nehomogenosti su onda posljedica lokalne dinamike.) (AU, cf. "axis of evil".)

Satelit  
Planck:

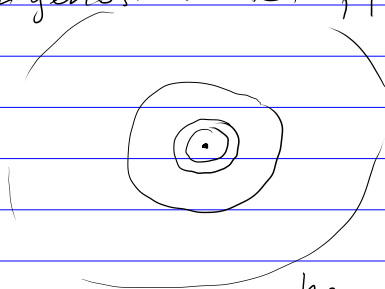


$\Delta T \sim 10^{-5} K$

U kojoj mjeri homogenost i izotropija povlače jedna drugu?



homogen ✓  
izotropan ✗



homogen ✗  
izotropan ✓

Izotropija ako svake točke implicira homogenost - (cf. kviz)

Finise oko općihog konsenzusa su manje važne.  
Kozmološko načelo je prirodna i vrlo aproksimativna  
za sve kvantitativne modele svemira i  
striktno čemo ga se držati.

„Savršeno kozmološko načelo“: Svemir je izotropan i homogen kako u prostoru tako i u vremenu.



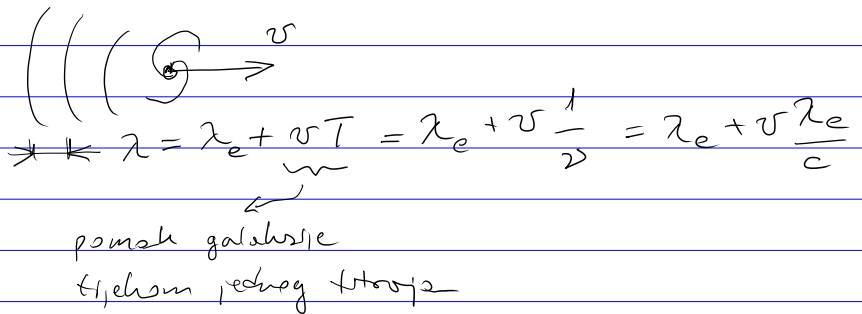
„steady-state universe“ (F. Hoyle et al.)

- zahtijeva kontinuirano stvaranje materije kako bi u slučaju širenja svemirna gustoća bila konstantna
- otkriće CMB-a je bilo odlučujuća podrška suprotstavljenoj teoriji velikog praska

## 2. Hubbleov zakon

Svemir se širi

Dopplerov efekt za razmjerno bliske galaksije koje se udaljavaju nerelativističkom brzinom  $v \ll c$



$\lambda_e$  - emitirano  
 $\lambda$  - opaženo

Def crveni pomak  $z \equiv \frac{\lambda - \lambda_e}{\lambda_e}$   $= \frac{v}{c}$

↑  
vrijedi za  $v \ll c$

(i formula i interpretacija kao Dopplerov efekt)

1912. V. Slipher: M31 ima  $z = -0.001 \Rightarrow v = zc = -300 \text{ km/s}$   
↑ izmjerio

1927. G. Lemaitre: 41 galaksija  $\begin{cases} \rightarrow 36 \times z > 0 \\ \rightarrow 5 \times z < 0 \end{cases} \Rightarrow$  ekspanzija  
 $d \sim 1 \text{ Mpc}$

- z je lako mjeriti; udaljenost d teško!

km/s!

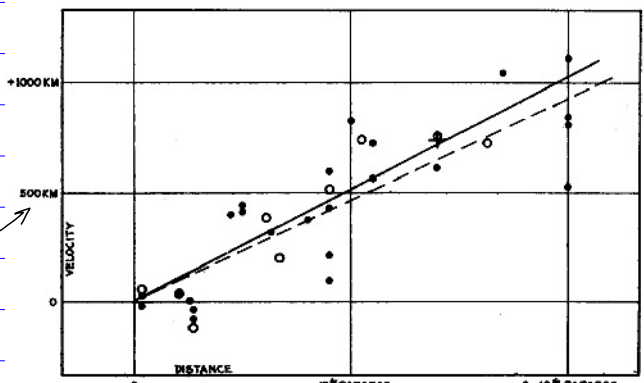


FIGURE 1  
Velocity-Distance Relation among Extra-Galactic Nebulae.

1929, E. Hubble određuje udaljenost do 20-ak galaksija metodom cefeida i otkriva

$$z = \frac{H_0}{c} r \quad \text{tj.} \quad v = H_0 r$$

Hubbleov zakon

fit:  $H_0 \sim 500 \text{ km/s/Mpc}$

No gotcijeno je udaljenosti 7 puta. Današnja vrijednost

$$H_0 = 68 \pm 2 \text{ km/s/Mpc}$$

← uglavnom iz CMB-a, izravna mjerenja cefeida itd.  
doga  $H_0 \sim 73 \text{ km/s/Mpc}$

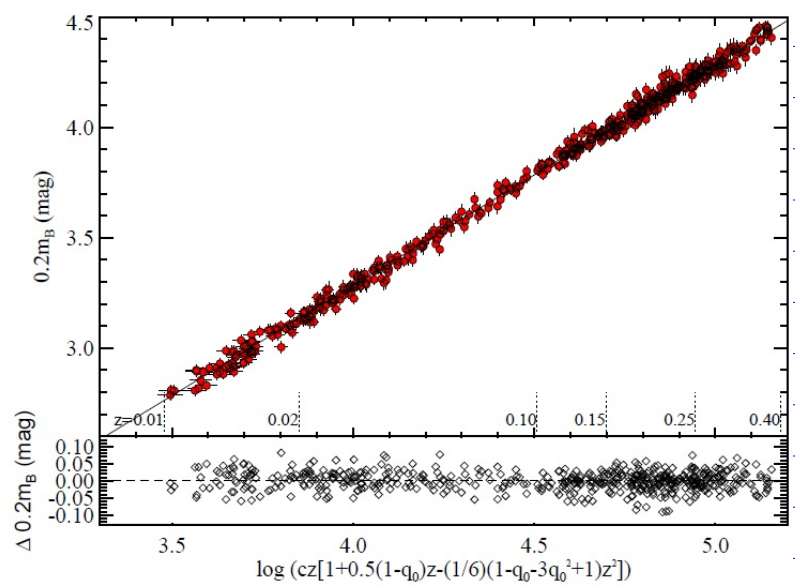
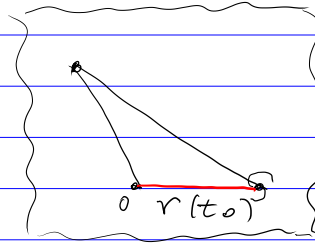
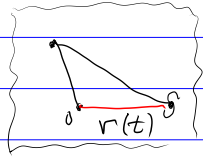


Fig. 8.— Hubble diagram of more than 600 SNe Ia at  $0.01 < z < 0.4$  in units of  $\log cz$ .

(Riess et al. arxiv: 1604.01424)

Homogeno širenje svemira:



$t_0 = 0 \leftarrow$  sadašnji trenutak

$$r(t) = a(t) r(t_0)$$

faktor skale,  $a(0) = 1$

$$v(t) = \frac{dr(t)}{dt} = \frac{da(t)}{dt} r(t_0) = \frac{\dot{a}(t)}{a(t)} r(t)$$

$$H(t) = \frac{\dot{a}(t)}{a(t)}$$

Hubbleov parametar

(relativna brzina širenja)

$H(0) \equiv H_0$  - Hubbleova konstanta

$$[H] = s^{-1}$$

Hubbleovo vrijeme:  $\frac{1}{H_0} = \frac{1 \text{ Mpc}}{68 \text{ km}} = \frac{1 \cdot 10^6 \cdot 3.09 \cdot 10^{16} \text{ m}}{68 \cdot 10^3 \text{ m}}$

$$= \frac{309}{68} \cdot 10^{17} \text{ s} = 14.4 \text{ Ga} \quad (a = \text{godina, annum})$$

4.54

- to bi bilo vrijeme od Velikog praske kad bi linearni Hubbleov zakon vrijedilo cijelo vrijeme

Hubbleova udaljenost :  $\frac{c}{H_0} = 14.4 \text{ Gly} = 4.4 \text{ Gpc}$

$\sim$  veličina vidljivog svemira (ali greška je veća

nego za relaciju  $\frac{1}{H_0} \sim$  starost svemira jer

je to zapravo udaljenost do koje bi došla svetlost rane zvezdane (od ~velikog praska) kad se svemir ne bi širio.

To je lošije aproksimacije nego ona da se svemir širi postupno (linearni Hubbleov zakon cijelo vrijeme

### 3. Sastav svemira (udjeli u ukupnoj masi/energiji)

opazamo:  $\left. \begin{array}{l} 75\% \text{ vodik} \\ 25\% \text{ helij} \end{array} \right\} \text{ "barionska tvar"}$

$e^-$  - zanemarivo (1000x lakši od protona)

$\gamma, \nu$  - zanemarivi danas (vrlo značajni u prvih par stotina godina nakon V.-p.)

5% - barionska tvar (zvezdane 10% toga tj. 0.5% ukupno; uključuje i tzv barionsku tamnu tvar: smeđi patuljci, astrofizičke crne rupe, ...)

27% - tamna tvar (nebarionska)

68% - tamna energija

### 4. CMB - kozmičko potrdinsko zračenje

- 1965: Penzias & Wilson

- iska potvrda teoriji velikog praska

- 1989 - 2013 COBE  $\rightarrow$  WMAP  $\rightarrow$  Planck : anizotropije

u CMB - kozmologija postaje precizna znanost!

$T = 2.7255 \text{ K}$  , anizotropije :  $10^{-5} \text{ K}$

## Zakrivljeni prostori

- Dominantna sila na kozmološkim skalama je gravitacija

Teorija gravitacije: Newton vs. Einstein

Newton: gravitacija je sila  $\vec{F} = -G \frac{Mm}{r^2} \hat{r}$

$$G = 6.67 \times 10^{-11} \text{ m}^3 \text{ kg}^{-1} \text{ s}^{-2}$$

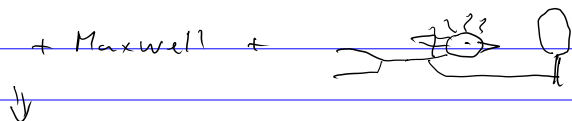
Drugi Newtonov zakon:  $\vec{F} = m_i \vec{a} = -G \frac{Mm_i}{r^2} \hat{r}$

$m_i = m_g \equiv m$  načelo ekvivalencije (trane i teške mase)

$\Rightarrow \vec{a} = -G \frac{M \hat{r}}{r^2}$  tj. gibanje tijela u grav. polju ne ovisi o njegovoj masi (Galileo)

Einsteinova specijalna teorija relativnosti (STR):

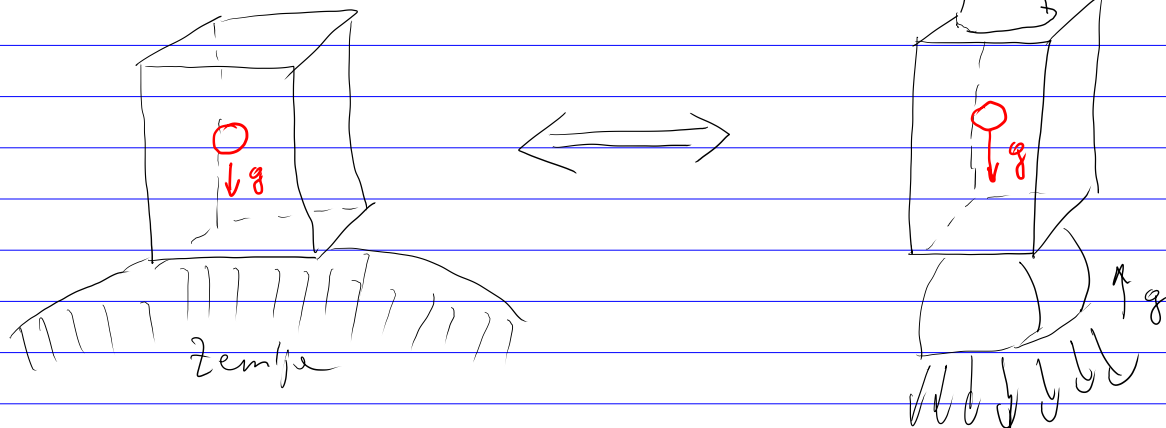
1. Zakon fizike su isti u svim inercijalnim sustavima.



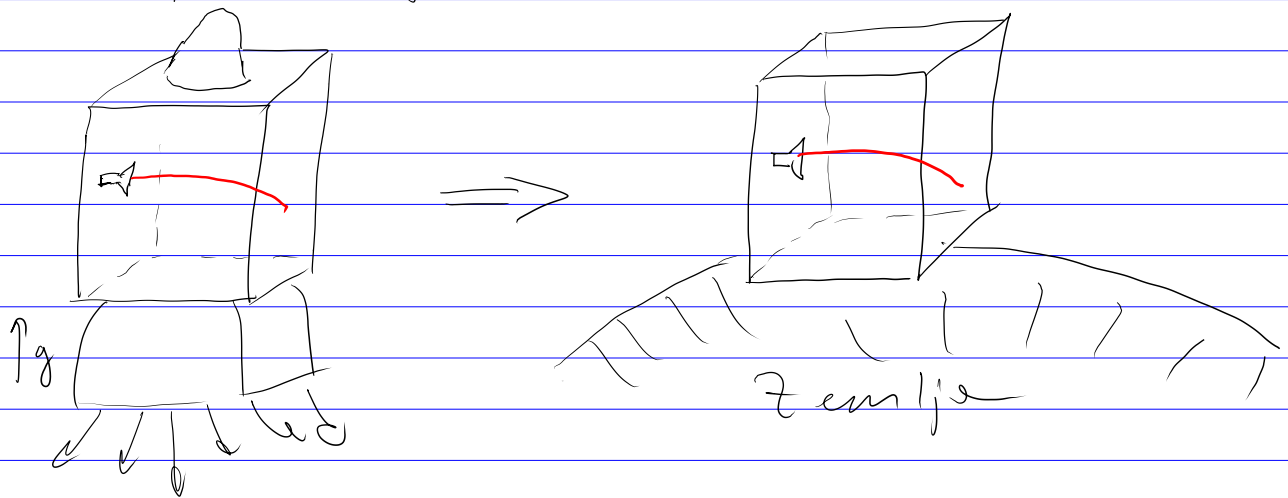
2. Brzina svjetlosti u vakuumu je ista (c) u svim inercijalnim sustavima

Opća teorija relativnosti (GTR)

Načelo ekvivalencije:



Ekvivalenciya za sve fizikalne zehone ovde znači:



Dakle gravitacija privlači i svetlost, premda je bezmasena

Ali sad prihvatimo: Fermatovo načelo da svetlost putuje od tačke A do B u minimalnom vremenu, uz  $c = \text{const}$  to znači da putuje najkraćim putem!

Ali najkraći put nije ravna linija  $\Rightarrow$  prostor nije euklidski tj. zakrivljen je.

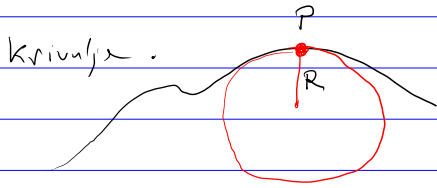
U Einsteinovoj teoriji gravitacije masa/energija zakrivljuju prostorovremenu, a tela se u tom prostoru vremenu gibaju najkraćim putem (po geodetskoj liniji).

J.A. Wheeler:

„Mass-energy tells spacetime how to curve.  
Curved spacetime tells mass-energy how to move.“

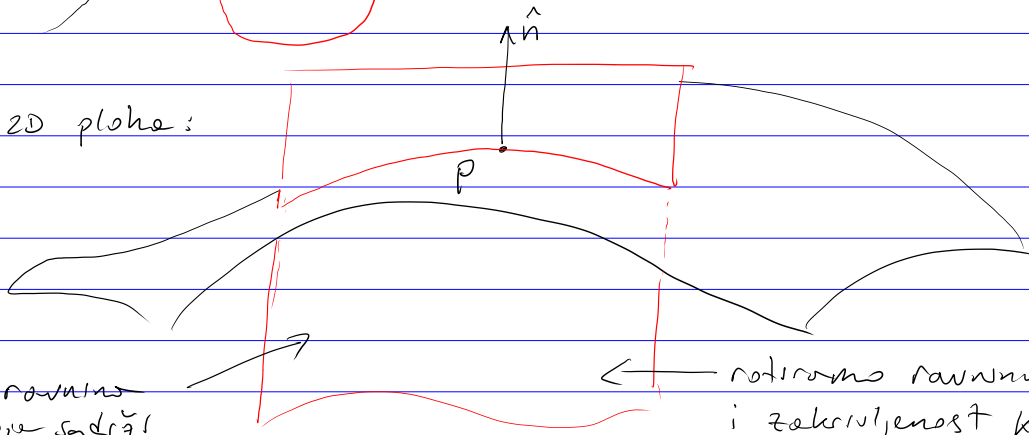
Pogodno je razviti interesu na primjerima višedimenzionalnih zakrivljenih prostora.

Zakrivljene 2D plohe



$\kappa = \frac{1}{R}$  : zakrivljenost u točki P

2D ploha:



ravnina koje sadrži normalu  $\hat{n}$  u P

rotiramo ravninu duž  $\hat{n}$  i zakrivljenost krivulje presjeka ravnine i plohe se mijenja.

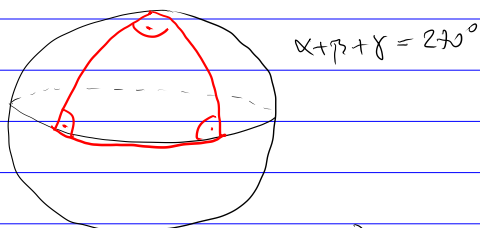
Gaussova zakrivljenost:  $K = \kappa_{min} \cdot \kappa_{max}$

Da li je valjak zakrivljen? Ne:  $\lim_{\infty} \frac{1}{\infty} = 0$

Gauss: ravnine koje daju  $\kappa_{min}$  i  $\kappa_{max}$  su okomite.

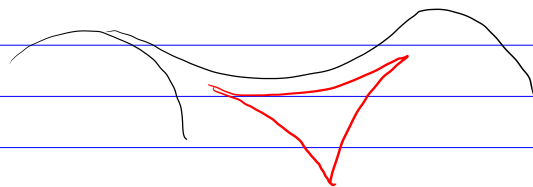
Gauss ("teorema egregium"): zakrivljenost K, prema dubinskoj kao ekstrinzično (vanjsko) svojstvo plohe, potpuno je određena intrinzičnom geometrijom plohe (dakle mjerenjima koje mogu obaviti 2D stvorenja koje žive na plohi).  
 K se ne mijenja savijanjem plohe (tj. nikakvim geometrijskim - transformacijama koje čuvaju udaljenosti)

Podasna mjerenja: zbroj kutova trougla, opseg kružnice, porušanje paralelnih pravaca  
 ↳ (i dovodi do otkrića neuklidovske geometrije)



općenito (Girardov teorem)

$$\alpha + \beta + \gamma = \pi + \frac{A}{R^2}$$



$$\alpha + \beta + \gamma = \pi - \frac{A}{R^2}$$

Komolobsko načelo v 2D: zanimajo nas ploske s istom zakrivljenosti v svim točkah.

$K=0$  : ravnina

$$x + y + z = \text{const}$$

$K > 0$  : sfera  $S^2$

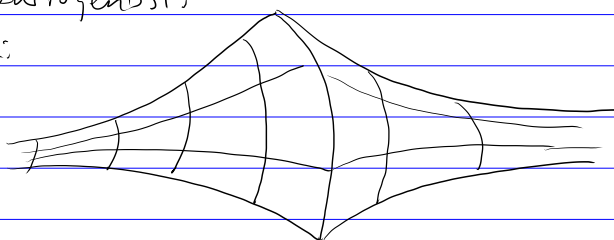
$$x^2 + y^2 + z^2 = \text{const}^2$$

$K < 0$  : hiperbolični prostor  $H^2$

$$x^2 + y^2 - z^2 = -\text{const}^2$$

↑  
primeri: uklopanje v 3D prostor → ali to su samo "modeli" 2D prostora

Prostor konstantne negativne zakrivljenosti:  
Beltramijeva pseusfera:



↑  
neregularno odzije

(Hilbert: ne postoji regularna ploha konstantne negativne zakrivljenosti)

Uklopanje zakrivljene plohe v višedimenzionalni ravni prostor (kao gore  $S^2$  u  $\mathbb{R}^3$ ) je nekad zgodno, ali nje nišno tj. plohe "postoji" i bez uklopanje. Dakle, ako je svemir zakrivljeno 4D prostorovijeme ne mora postojati neki višedimenzionalni prostor, u kojem je ovaj zakrivljen.

Gornje tri mogućnosti su i jedine do na "diskretni kvocijent"

poput



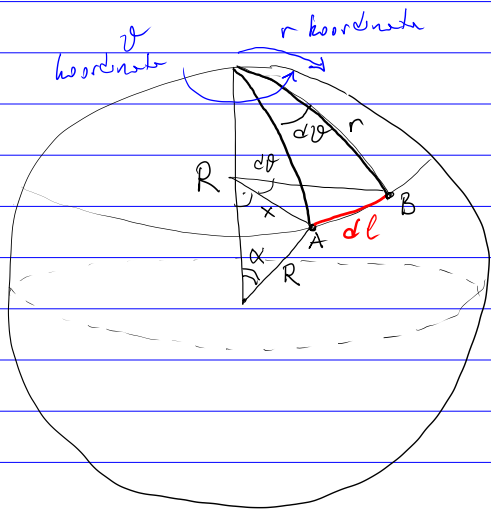
← zapravo ravnina s periodičnim rubnim uvjetom

↑  
- ključni trikovi su moguć i na sferom

- traženi su efekti netrivialnih topologije u svemiru (periodičnosti u CMB-u) - bez rezultata

Za određivanje udaljenosti u zakrivljenom prostoru razmatramo diferencijalne udaljenosti po integriranju:

Npr. za sferični 2D prostor:



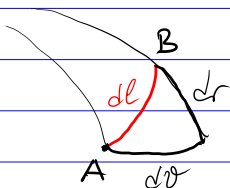
$$dl = r d\vartheta$$

$$R \alpha = r$$

$$\frac{x}{R} = \sin \alpha = \sin \frac{r}{R}$$

$$dl = R \sin \frac{r}{R} d\vartheta$$

Kad  $ds$  ima 2 komponente duž  $r$  smjera, „Pitagora“:



$$dl^2 = dr^2 + R^2 \sin^2 \frac{r}{R} d\vartheta^2$$

← „metrika“ prostora

{ Paži notacije:  $dx^2 \equiv (dx)^2 \neq 2x dx$  }

Slično, u hipersobčnom ( $K < 0$ ) 2D prostoru:

$$dl^2 = dr^2 + R^2 \sinh^2 \frac{r}{R} d\vartheta^2$$

Zapišimo to ujednjeno pomoću funkcije

$$S_k = \begin{cases} R \sin r/R & k=+1 \\ r & k=0 \\ R \sinh r/R & k=-1 \end{cases}$$

↑ indeks zakrivljenosti  $K = \frac{k}{R^2}$

$$dl^2 = dr^2 + S_k(r)^2 d\Omega^2$$

Poopćenje na 3D prostore je lagan:

$$dl^2 = dr^2 + S_k(r)^2 \underbrace{(d\theta^2 + \sin^2\theta d\varphi^2)}_{d\Omega^2}$$

Alternativno se ista metrika može zapisati pomoću koordinata

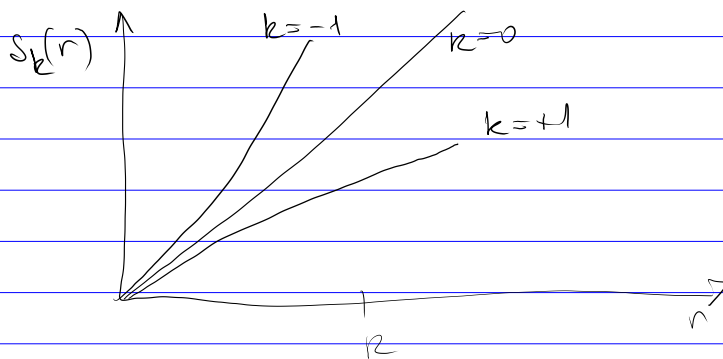
$$x \equiv S_k(r)$$

$$\frac{dx}{dr} = \begin{cases} R \left(\cos \frac{r}{R}\right) \cdot \frac{1}{R} = \sqrt{1 - \sin^2 \frac{r}{R}} = \sqrt{1 - \frac{x^2}{R^2}} \\ 1 \\ R \left(\cosh \frac{r}{R}\right) \frac{1}{R} = \sqrt{1 + \sinh^2 \frac{r}{R}} = \sqrt{1 + \frac{x^2}{R^2}} \end{cases} = \sqrt{1 - \frac{kx^2}{R^2}}$$

$$dl^2 = \frac{dx^2}{1 - kx^2/R^2} + x^2 d\Omega^2$$

Supto od gore, ova metrika je euklidska u  $(0, R)$  - smjeru, a neeuklidska u „radijalnom“ x smjeru.

Za mali  $r \ll R$  tri mogućnosti se malo razlikuju



$$\sin x = x - \frac{x^3}{3!} + \dots$$

$$\sinh x = x + \frac{x^3}{3!} + \dots$$

## Robertson-Walkerova metrika

U 4D prostorvremenu također imamo samo tri mogućnosti ako postupemo kozmološko načelo:

$$ds^2 = c^2 dt^2 - a(t)^2 \left( dr^2 + \int_{\mathbf{k}}(r)^2 d\Omega^2 \right) \quad \mathbf{k} \in \{+1, 0, -1\}$$

← RW metrika

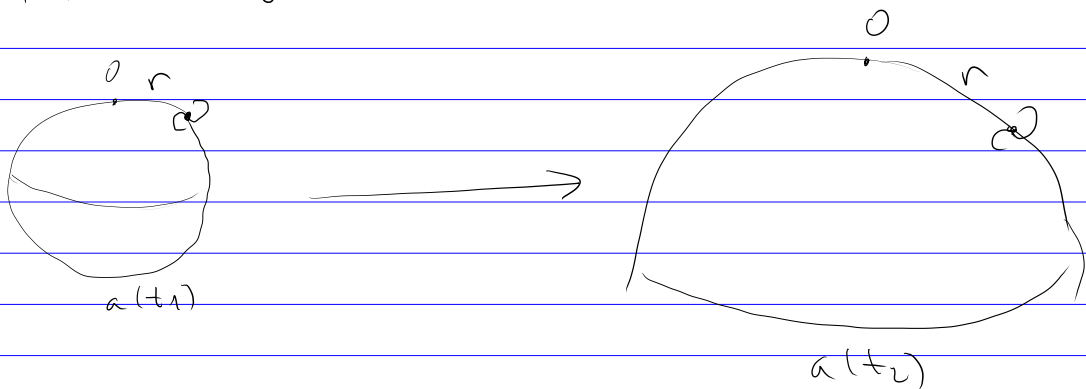
(Bitna je samo relativna skala između  $dt$  i  $d\ell$ . Eventualna  $ds^2 = b(t)^2 dt^2 - a(t)^2 d\ell^2$  se pretvara u gornju redefinicijom vremenske koordinate.)

Jedna moguća dinamika je homogena širenje (ili sažimanje) za faktor skale  $a(t)$ .

$(r, \vartheta, \varphi)$  - koordinatni sustav promatrača koji se giba zajedno sa širenjem svemira (npr. mi) - sugibajući promatrač (samo za takve promatrače vrijedi kozmološko načelo i RW metrika)

Promjene udaljenosti zbog širenja svemira su sasvim sadržane u faktoru skale  $a(t)$  pa se  $(r, \vartheta, \varphi)$  koordinate dalekih galaksija (čije vlastite brzine zbog lokalnih efekata je puno manje od brzine zbog Hubbleovog širenja) ne mijenjaju u vremenu.

$(r, \vartheta, \varphi)$  - sugibajući koordinatni sustav



## Prava udaljenost

Prava udaljenost između dviju točaka u trenutku  $t$  je duljina prostorne geodetske linije između njih uz faktor skale fiksiran na vrijednosti  $a(t)$ .

Geodetsku liniju definira putanja fotona za koje je relativistički interval  $ds^2 = 0$ , pa za konstantno vrijeme imamo

$$0 = -ds^2 = -\underbrace{dt^2}_{=0} + a(t)^2 (dr^2 + S_k(r)^2 d\Omega^2)$$

tj. duljinu geodetske linije  $dl^2 = -ds^2$

$$dl = a(t) dr$$

prava udaljenosti

$$\left[ d_p = \int_0^r dl = \int_0^r a(t) dr = a(t) r \right]$$

$r \leftarrow$  od nas

$r \leftarrow$  do objekta sa sugibajućom koordinatom  $r$

Izbor normalizacije  $a(0) = 1$  znači da je sugibajuća udaljenost  $r$  jednaka današnjoj pravoj udaljenosti. (To također znači da je  $R_0$  u  $S_k(r)$  današnji radijus zakrivljenosti, ako svemir nije euklidski.)

Promjena  $d_p$  u vremenu:

$$\dot{d}_p = \dot{a}(t) r = \frac{\dot{a}(t)}{a(t)} d_p \equiv H(t)$$

$$H(0) = H_0$$

$$\dot{d}_p(t_0) = H_0 d_p(t_0)$$

Hubbleov zakon: promjena udaljenosti je proporcionalna udaljenosti, gdje tu promjenu ne interpretiramo kao "brzinu" udaljevanja nego kao posljedicu širenja svemira.

Informacije o  $a(t)$  bismo dobili mogli dobili mjerenjima  $d_p$  i  $\dot{d}_p$  za daleke objekte, ali  $d_p$  se prilično teško mjeri (cf. kozmička ljestvica udaljenosti).

Crveni pomak  $z$  se lako mjeri pa povežimo  $z$  i  $a(t)$ :

Daleka galaktička emisija u  $t_e$  svjetlo valne dužine  $\lambda_e$  i mi to detektiramo u  $t_o$  kao  $\lambda_o$ :

$$ds^2 = c^2 dt^2 - a(t)^2 dr^2 = 0 \Rightarrow c dt = \frac{1}{a(t)} dr$$

jer svjetlost u vremenu ide od  $r > 0$  ka  $r = 0$

$$c \int_{t_e}^{t_o} \frac{dt}{a(t)} = - \int_r^0 dr = r$$

Sljedeća valna fronta kreće u  $t_e + \frac{\lambda_e}{c}$  i biva opažena u  $t_o + \frac{\lambda_o}{c}$

$$c \int_{t_e + \lambda_e/c}^{t_o + \lambda_o/c} \frac{dt}{a(t)} = r$$

Oduzimanjem ovih dviju jednačini

$$0 = \int_{t_e + \lambda_e/c}^{t_o + \lambda_o/c} \frac{dt}{a(t)} - \int_{t_e}^{t_o} \frac{dt}{a(t)} =$$

$$= \int_{t_o}^{t_o + \lambda_o/c} \frac{dt}{a(t)} - \int_{t_e}^{t_e + \lambda_e/c} \frac{dt}{a(t)} = \frac{1}{a(t_o)} \frac{\lambda_o}{c} - \frac{1}{a(t_e)} \frac{\lambda_e}{c} \Rightarrow \frac{\lambda_o}{a(t_o)} = \frac{\lambda_e}{a(t_e)}$$

$$\frac{a(t_o)}{a(t_e)} = \frac{\lambda_o}{\lambda_e} - 1 + 1 = z + 1$$

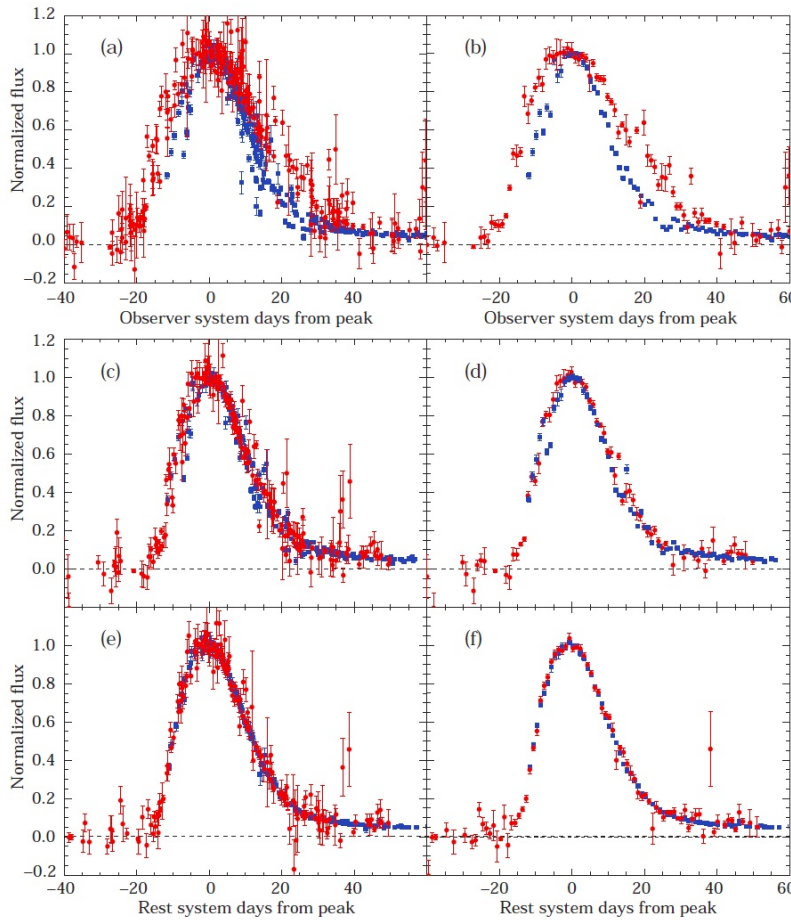
$$1 + z = \frac{a(t_o)}{a(t_e)} = \frac{1}{a(t)}$$

$z$  ne ovisi o obliku funkcije  $a(t)$  tj. kako je tačno svemir evoluirao od  $a(t_e)$  do današnjeg  $a(t_o) = 1$ !

$z$  nije posljedica Dopplerovog efekta već kumulativni efekt prošle svjetlosti koja prolazi prostor u širenju.

Rekordni  $z = 11.09$  (2016.)  $\rightarrow$  slika te galaktičke je  $z$  vremena kad je svemir bio 12x manji.

Efekt se može interpretirati i kao „kromičke dilatacije  
vremene“ što je opaženo i u trajanju eksplozije  
supernovih Ia:



← izravno opažanje

← korigirano za (1+z)

← korigirano za varijacije  
u trajanju eksplozije  
(potrebno kao funkcija  
vršnog sponja)

(Goldhaber et al., 2001.)

Ovo je snažan argument da crveni pomak dalekih  
galaksija nije zbog toga što svjetlo usput na  
nekoli dugo način gubi energiju („tired light hypothesis“)

# Kozmička dinamika

Geometrija prostor-vremena už pretpostavlja homogenost i izotropije je opisano RW metrikom:

$$ds^2 = g_{\mu\nu} dx^\mu dx^\nu = c^2 dt^2 - a(t)^2 (dr^2 + S_k(r)^2 d\Omega^2)$$

metrički tenzor  $g = \begin{pmatrix} c^2 & & & \\ & -a(t)^2 & & \\ & & -a(t)^2 S_k(r)^2 & \\ & & & -a(t)^2 S_k(r)^2 \sin^2 \theta \end{pmatrix}$

Dinamika je dana Einsteinovom jednačinom

$$G_{\mu\nu} = \frac{8\pi G}{c^4} T_{\mu\nu}$$

Einsteinov tenzor  $f(g_{\mu\nu}, \partial_\sigma g_{\mu\nu}, \partial_\rho \partial_\sigma g_{\mu\nu})$

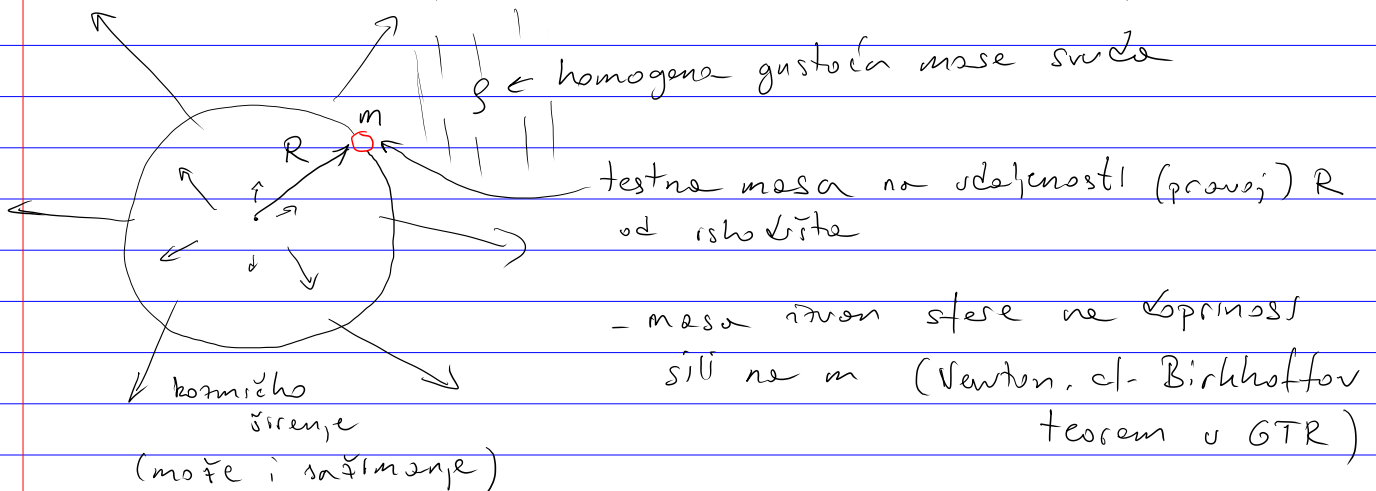
tenzor energije-impulsa (npr.  $T_{00} = \epsilon(x)$   $\uparrow$  gustota energije)

- 10 razlikih nelinearnih diferencijalnih jednačina 2. reda
- rješavaju se numerički, a analitički za jednostavne, vrlo simetrične sistove:

- sferična raspodjela: Schwarzschildovo rješenje
- homogena i izotropna raspodjela: Friedmannova jednačina

## Friedmannova jednačina

Izvest demo je prvo u okviru Newtonove teorije.



Energija testne mase:

$U =$  kinetička + potencijalna

$$= \frac{1}{2} m \dot{R}^2 - \frac{G \left( \frac{4\pi}{3} R^3 \rho \right) m}{R}$$

odgovarajući  
radijus

$$\left. \begin{array}{l} \\ \\ \end{array} \right\} R(t) = a(t) r$$

$$= \frac{1}{2} m r^2 \dot{a}^2 - \frac{4\pi G r^2 a^2 \rho m}{3} \quad / \quad \frac{2}{m r^2 a^2}$$

$$\left( \frac{\dot{a}}{a} \right)^2 = \frac{8\pi G}{3} \rho + \frac{2U}{m r^2 a^2}$$

ne može ovisiti o  $r$  zbog homogenosti  
(ostali članovi ne ovise o  $r$ )

$$\Rightarrow U \propto \frac{1}{r^2}$$

$$\frac{-2U}{c^2 m r^2} \equiv K_0 \leftarrow \text{const}(r), \text{ a mora biti i const}(t)$$

jer je energija očuvana

$$\left( \frac{\dot{a}}{a} \right)^2 = \frac{8\pi G}{3} \rho - \frac{K_0 c^2}{a^2}$$

-  $(\dot{a})^2 \rightarrow$  sveki scenarij  
s širenjem  $\dot{a} > 0$  ima  
analogon sa sažimanjem  $\dot{a} < 0$   
Mi se specijaliziramo na slučaj  
širenja.

$U \geq 0$  tj.  $K_0 \leq 0 \Rightarrow \dot{a} \neq 0$  uvijek  $\rightarrow$  beskonačno širenje

$U < 0$  tj.  $K_0 > 0 \Rightarrow \dot{a} = 0$  kad se  $\rho$  dovoljno smanji  
 $\rightarrow$  prestanak širenja (i sledi sažimanje)

Rješavanje Einsteinsve jednačine (vd prilog) daje

$$\left( \frac{\dot{a}(t)}{a(t)} \right)^2 = \frac{8\pi G}{3c^2} \epsilon(t) - \frac{K_0 c^2}{R_0^2 a(t)^2}$$

Friedmannova jednačina

obratom na njutnovski pristup:

$$\rho \rightarrow \frac{\epsilon}{c^2} \leftarrow \text{gustota energije}$$

(ova energija gravitira)

$$K_0 \rightarrow \frac{K}{R_0^2}$$

indeks zakrivljenosti  
radijus zakrivljenosti

Kako je  $H(t) = \frac{\dot{a}(t)}{a(t)}$  možemo pisati

$$H(t)^2 = \frac{8\pi G}{3c^2} \epsilon(t) - \frac{kc^2}{R_0^2 a(t)^2}$$

odnosno, danas,

$$H_0^2 = \frac{8\pi G}{3c^2} \epsilon_0 - \frac{kc^2}{R_0^2} \quad (a(0)=1)$$

Tako mjerenje  $H_0$  i  $\epsilon_0$  bi odredilo zakrivljenost  $k/R_0^2$ .  
No i bez mjerenja možemo postaviti granice!

Ako je  $k = -1$

$$\frac{1}{R_0^2} = \frac{H_0^2}{c^2} - \frac{8\pi G}{3c^4} \epsilon_0$$

Kako je  $\epsilon_0 \geq 0$ ,  $\frac{1}{R_0^2}$  je maksimalno za  $\epsilon_0 = 0$

$$\Leftrightarrow R_0 \Big|_{\substack{\min \\ \text{za } k=-1}} = \frac{c}{H_0} \leftarrow \text{Hubbleova udaljenost}$$

I za  $k=+1$  imamo

$$R_0 \Big|_{\substack{\min \\ k=+1}} \sim \frac{c}{H_0}$$

iz negativnih rezultata potrage za primobimim porobljenjem  
slike galaksija i CMB-a.

Uvrtavanjem  $k=0$  dobivamo granicu između ove  
dva slučaja:

$$H^2 = \frac{8\pi G}{3c^2} \epsilon \quad \text{i odgovarajuća gustina energije}$$

$$\text{također } \underline{\text{kritična gustina}} \quad \epsilon_c(t) = \frac{3c^2}{8\pi G} H(t)^2$$

Danas:

$$\frac{\epsilon_{c,0}}{c^2} = \rho_{c,0} = 9 \times 10^{-27} \text{ kg/m}^3 \approx 5 \text{ protona / m}^3$$

Običaj je gustoće u kosmologiji izražavati u  
omjeru prema kritičnoj:

$$\Omega(t) = \frac{\varepsilon(t)}{\varepsilon_c(t)} \quad , \quad \text{mjereno: } \Omega_0 \approx 1 \quad (\pm 0.5\%)$$

$$H(t)^2 = \frac{8\pi G}{3c^2} \varepsilon(t) - \frac{kc^2}{R_0^2 a(t)^2} \quad / \quad \frac{1}{H(t)^2}$$

$$\underbrace{\hspace{10em}}_{\frac{H(t)^2}{\varepsilon_c(t)}}$$

$$1 - \Omega(t) = - \frac{kc^2}{R_0^2 a(t) H(t)^2}$$

$$\Omega > 1 \Rightarrow k = +1$$

„zatvoreni“ svemir

$$\Omega = 1 \Rightarrow k = 0$$

„ravn“ svemir

$$\Omega < 1 \Rightarrow k = -1$$

„otvoreni“ svemir (ako nema  
netrivijalnu topologiju)

Friedmannova je jedna jednačina s dvije nepoznate:  
 $a(t)$  i  $\varepsilon(t)$ . Kad bi i izmjerili  $\varepsilon_0$  i odredili  $\dot{a}_0$   
ne bismo mogli odrediti  $a(t \neq 0)$  i  $\varepsilon(t \neq 0)$ .

Dobiv smo je iz zakona očuvanja energije testne mase  
na površini sfere.

Drugu jednačinu daje nam zakon očuvanja energije  
„fluida“ same sfere:

$$dE = dQ - p dV$$

$\underbrace{dQ}_{=0} \leftarrow$  nema transfera topline jer je sve na

istoj temperaturi (kosmološko načelo

striket agaln)

$$V(t) = \frac{4\pi}{3} R(t)^3 = \frac{4\pi}{3} a(t)^3 r^3$$

$$\dot{V}(t) = \frac{4\pi}{3} r^3 \cdot 3 a(t)^2 \dot{a}(t) = V(t) \cdot 3 \frac{\dot{a}(t)}{a(t)}$$

$$t_j: \quad \frac{\dot{V}}{V} = 3 \frac{\dot{a}}{a} \quad (\text{číslo i je rozměrový z hlediska dimenzí})$$

$$E(t) = \epsilon(t) \cdot V(t)$$

$$\dot{E} = \dot{\epsilon} V + \epsilon \dot{V} = -p \dot{V}$$

$$\dot{E} = -(\epsilon + p) \dot{V} = -(\epsilon + p) V \cdot 3 \frac{\dot{a}}{a}$$

$$\dot{\epsilon} = -3 \frac{\dot{a}}{a} (\epsilon + p)$$

„jednoduchá fluida“

(ista i v Einstejnovej teorii!)



Gustota energie pada i tvoj rozriedivanie i tvoj vršenie rada protiv sile gravitacie.

Sad imamo dve jednoduche s tri nepoznanice:  $a(t)$ ,  $\epsilon(t)$ ,  $p(t)$ .

Da bi kompletirali sustav trebamo znati kako tlak ovise o gustoći energie:

$$p = p(\epsilon)$$

„jednoduchá stanja“

Sad imamo sve što nam treba (3 jednoduche s 3 nepoznanice). Postupak:

1. labor jednoduche stanja
2. prešavanje Friedmannove i jednoduche fluida

„Friedmannove jednoduche (plural)“

No prije svega spomenimo i jednadžbu za  $\ddot{a}$ .  
 (U fizici smo navikli koristiti takve jednadžbe  
 2. reda poput  $F = m\ddot{x}$ .)

$$\dot{a}^2 = \frac{8\pi G}{3c^2} \epsilon a^2 - \frac{kc^2}{R_0^2} \quad \left| \frac{d}{dt} \right.$$

$$2\dot{a}\ddot{a} = \frac{8\pi G}{3c^2} (\dot{\epsilon}a^2 + \epsilon 2a\dot{a}) = \frac{8\pi G}{3c^2} \left( \underbrace{a^2 \frac{\dot{\epsilon}}{a} (\epsilon + p)}_{-3a\dot{a}(\epsilon + p)} + 2\epsilon a\dot{a} \right)$$

$$\underbrace{\hspace{10em}}_{a\dot{a}(-\epsilon - 3p)}$$

$$\ddot{a} = -\frac{4\pi G}{3c^2} (\epsilon + 3p)$$

„jednadžba ubrzanja“

Nelemo je baš koristiti. (aj vertikalno klatce: lakše je koristiti zSE:  
 $\frac{mv_0^2}{2} = mgh \Rightarrow h$  nego  $mg = h \ddot{x}$  &  $v_0$ )

Ipak jedna opservacija:

- Ako je  $p > -\frac{\epsilon}{3}$ ,  $\ddot{a} < 0$  i širenje usporava.  
 (gravitacija se opire širenju.)

- Ako je  $p < -\frac{\epsilon}{3}$ ,  $\ddot{a} > 0$  tj. širenje se ubrzava  
 (Imamo „antigravitacijsko“ ponašanje;  
 „tamna energija“)

} Ako znamo GTR: pogledati izvod Friedmannovih  
 jednadžbi iz Einsteinove. }

Jednačina stanja

Rijetki nerelativistički plin (dobra aproksimacija za većinu kosmičke materije koja je u obliku atoma):

$pV = N k_B T$        $N$  - broj čestica,  $\mu$  - masa jedne čestice

$$p = \frac{N}{V} k_B T = \frac{1}{\mu} \frac{N \cdot \mu}{V} k_B T = \frac{\epsilon}{\mu c^2} k_B T = \frac{\epsilon}{c^2} \cdot \frac{\langle v^2 \rangle}{3}$$

s druge strane:  $\langle E_k \rangle = \frac{\mu \langle v^2 \rangle}{2} = \frac{3}{2} k_B T$

I za druge kosmičke fluide (zračenje, tamna energija, ...)

imati ćemo

$$p = w \epsilon$$
  
g  
broj (jedn. stanja kosmičkih fluide)

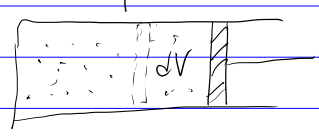
Za NR plin  $w = \frac{\langle v^2 \rangle}{3c^2} \approx 0$

za zračenje  $w = \frac{1}{3}$  (sl. Džoz ili poznate formule iz statističke;  $\langle v^2 \rangle \approx c^2$  u gornjem izrazu nije loše)

Tamna energija

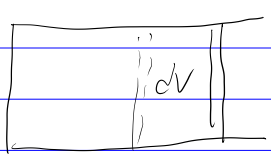
Ukoliko volumen ima konstantnu pozitivnu gustobu energije  $\epsilon_\Lambda$ .

Usporedba: Obrn plin



$dE = -p dV$ ,  $p > 0$   
 $dV > 0 \Rightarrow dE < 0$

Vakuumske energije:



$dE = \epsilon_\Lambda \cdot dV$   
 $dV > 0 \Rightarrow dE > 0$  }  $\Rightarrow$  
$$p = -\epsilon_\Lambda < 0$$
  
 $w = -1$

Ako znamo OTR:

$$R_{\mu\nu} - \frac{1}{2} R g_{\mu\nu} = \frac{8\pi G}{c^4} T_{\mu\nu}$$

$$T_{\mu\nu} = \begin{pmatrix} \epsilon & & & \\ & p & & \\ & & p & \\ & & & p \end{pmatrix} \Rightarrow T_{\mu\nu}^{\Lambda} = \begin{pmatrix} \epsilon & & & \\ & -\epsilon & & \\ & & -\epsilon & \\ & & & -\epsilon \end{pmatrix} = \epsilon g_{\mu\nu}$$

$$R_{\mu\nu} - \frac{1}{2} R g_{\mu\nu} = \frac{8\pi G}{c^4} (T_{\mu\nu}^{\Lambda} + T_{\mu\nu}^{\text{ostalo}})$$

$$\equiv \Lambda g_{\mu\nu}$$

$$\left\{ \begin{aligned} \Lambda &= \frac{8\pi G}{c^4} \epsilon_{\Lambda} \\ &= \Lambda \frac{[\text{erg/cm}^3]}{c^2} \end{aligned} \right.$$

$$\Rightarrow R_{\mu\nu} - \frac{1}{2} R g_{\mu\nu} - \Lambda g_{\mu\nu} = \frac{8\pi G}{c^4} T_{\mu\nu}^{\text{ostalo}}$$

↑  
"kozmiološka konstanta" (Einstein)

Očekivanje

$$\Lambda \sim \frac{1}{\ell_p^2} = \frac{1}{(10^{-35} \text{ m})^2} \sim 10^{70} \text{ m}^{-2} \quad (\Rightarrow \epsilon_{\Lambda} \sim 10^{132} \text{ eV/m}^3)$$

Dugo se uvaževalo da je za nepoznatog razloga  $\Lambda = 0$

Najnovije učenje SNIa + CMB:

$$\Lambda = 1.11 \times 10^{-52} \text{ m}^{-2}$$

Pogreškan od 122 reda veličine!

("Najgore predviđanje u povijesti fizike!")

Modeli svemira

Rješavamo tri temeljne jednačine

$$\left(\frac{\dot{a}}{a}\right)^2 = \frac{8\pi G}{3c^2} \epsilon - \frac{kc^2}{R_0 a^2} \quad (\text{Friedmannova j.})$$

$$\dot{\epsilon} = -3\frac{\dot{a}}{a}(\epsilon + p) \quad (\text{j. fluida})$$

$$p = w\epsilon \quad (\text{j. stanja})$$

$$w = \begin{cases} 1/3 & \text{zračenje} \\ 0 & \text{NR tvar} \\ -1 & \Lambda \end{cases}$$

Naš svemir je kombinacija

$$\epsilon = \epsilon_m + \epsilon_r + \epsilon_\Lambda = \sum_i \epsilon_i$$

(matter) (radiation)

gdje (zasad) zanemarujemo interakcije i transfer energije među komponentama (npr. zvijezde:  $\epsilon_m \rightarrow \epsilon_r$ ).

$$\Rightarrow p = \sum_i w_i \epsilon_i$$

Zbog fakta linearnosti svake komponenta zadovoljava j- kontinuiteta porazob (poredni članovi u jednačini su netačni)

$$\dot{\epsilon}_i = -3\frac{\dot{a}}{a}(\epsilon_i + \underbrace{p_i}_{w_i \epsilon_i}) = -3\frac{\dot{a}}{a} \epsilon_i (1 + w_i)$$

$$\frac{d\epsilon_i}{\epsilon_i} = -3 \frac{da}{a} (1 + w_i) \quad / \int$$

$$\boxed{\epsilon_i = \epsilon_{i,0} e^{-3(1+w_i)}} \quad / \int$$

$$w_m = 0 \Rightarrow \epsilon_m = \frac{\epsilon_{m,0}}{a^3} \quad (\bar{E}_{\text{restre}} \approx mc^2) \quad \begin{array}{c} \text{---} \\ \text{---} \\ \text{---} \end{array} \rightarrow \begin{array}{c} \text{---} \\ \text{---} \\ \text{---} \end{array}$$

$$w_r = \frac{1}{3} \Rightarrow \epsilon_r = \frac{\epsilon_{r,0}}{a^4} \quad (\bar{E}_{\text{foton}} = pc = hc/\lambda) \quad \begin{array}{c} \text{---} \\ \text{---} \end{array} \rightarrow \begin{array}{c} \text{---} \\ \text{---} \end{array}$$

$$w_\Lambda = -1 \Rightarrow \epsilon_\Lambda = \epsilon_{\Lambda,0} = \text{const} \quad \begin{array}{c} \text{---} \\ \text{---} \end{array} \rightarrow \begin{array}{c} \text{---} \\ \text{---} \end{array}$$

Koliká su  $\epsilon_{i,0}$ ?  $\leftarrow$  počítat ujetá za evoluční diferenciální rovnice unetraj  $t = t_0 \rightarrow t = 0$

$$\epsilon_{\text{CMB},0} = \left. \begin{array}{l} \text{Planckov zákon} \\ \text{zračenie}, \\ \text{kao žiár} \end{array} \right\} = 4.17 \times 10^{-14} \text{ J/m}^3 = 2.6 \times 10^{-4} \text{ GeV/m}^3$$

$$\text{odnosno } \Omega_{\text{CMB},0} \equiv \frac{\epsilon_{\text{CMB},0}}{\epsilon_{c,0}} = 5.35 \times 10^{-5}$$

$\epsilon_{c,0} \approx \{ 5 \text{ proton/m}^3 \approx 5 \text{ GeV/m}^3 \}$

$\Omega_{\text{zviezdy etc}} \lesssim 0.1 \Omega_{\text{CMB}}$  (vjetbe)  $\leftarrow$  zanemarujeme

U „zračenie“ spadajú i neutríná dokl god su relativistické (vjetrajno veči do vremená):

$$\Omega_{\nu,0} \approx 0.68 \Omega_{\text{CMB},0} \quad (\text{potradínski neutríná, zračunet deno kasnie})$$

Rabť deno s

$$\Omega_{\eta,0} = \Omega_{\text{CMB},0} + \Omega_{\nu,0} = 9.0 \times 10^{-5}$$

$$\Omega_{m,0} = 0.31$$

$$\Omega_{\Lambda,0} = 0.69$$

$$\Omega_0 = \sum_i \Omega_{i,0} = 1$$

Referenční model  
našeg svemra  
(„benchmark“)

$$\frac{\Omega_{\Lambda,0}}{\Omega_{m,0}} = \frac{0.69}{0.31} = 2.23, \text{ ali idući u prošlost } \epsilon_m = \frac{\epsilon_{m,0}}{a^3}$$

raste jer  $a(t)$  pada pr. danas u

nekom trenutku  $t = t_{m\Lambda}$  imati  $\Omega_{\Lambda} = \Omega_m \Leftrightarrow \epsilon_{\Lambda} = \epsilon_m$

$$\frac{\epsilon_{m,0}}{a_{m\Lambda}^3} = \epsilon_{\Lambda,0} \Rightarrow a_{m\Lambda} = \left( \frac{\epsilon_{m,0}}{\epsilon_{\Lambda,0}} \right)^{1/3} = \left( \frac{\Omega_{m,0}}{\Omega_{\Lambda,0}} \right)^{1/3} = 0.77$$

Slično u  $t = t_{rm}$  je bilo  $\Omega_r = \Omega_m$ .

(U literaturi to često zovu  $t_{eq}$  = "equality".)

$$\frac{\epsilon_{m,0}}{a_{rm}^3} = \frac{\epsilon_{r,0}}{a_{rm}} \Rightarrow a_{rm} = \frac{\epsilon_{r,0}}{\epsilon_{m,0}} = \frac{9 \times 10^{-5}}{0.31} = 2.9 \times 10^{-4} = \frac{1}{3400}$$

Općenito, zbog  $\epsilon_i \propto a^{-3(1+w_i)}$  u ranom svemiru ( $a \ll 1$ )

dominira komponenta s najvećim  $w_i$  (zračenje), a

u kasnom svemiru ( $a \gg 1$ ) ona s najmanjim ( $\Lambda$ )

Od velikog praska ( $t=0$ ) do danas svemir se neprestano

širi pa je monoton funkcija  $a(t)$  dobra zamjena

za vrijeme, a kako smo pokazali

$$1+z = \frac{1}{a} \quad (\text{kozмолоški crveni pomak})$$

$pr$  je  $z$  (koju se izravno lako mjeri) isto dobra zamjena.

$$\text{Npr. } z_{rm} = \frac{1}{a_{rm}} - 1 = 3400$$

Veza s vremenom  $t$  je komplikovanija i sledi

iz Friedmannove jednačine.

Danas u analizi toga na jednostavnijim modelima.

Prazan svemir  $\epsilon_i = 0 \quad \forall i$

$$\frac{\dot{a}^2}{a^2} = 0 - \frac{kc^2}{R_0^2}$$

1. mogućnost  $k=0, \dot{a}=0$  (statični ravni svemir)

2. mogućnost  $k=-1, \dot{a} = \frac{c}{R_0}$  ← bira se u skladu s našim svemirnom koji se širi

$$\frac{da}{dt} = \frac{c}{R_0} \Rightarrow a(t) = \frac{c}{R_0} t = \frac{t}{t_0}$$

$$\left\{ a(t=t_0) = 1 = \frac{c}{R_0} t_0 \Rightarrow \frac{c}{R_0} = \frac{1}{t_0} \right\}$$

$$H(t) = \frac{\dot{a}}{a} = \frac{1/t_0}{t/t_0} = \frac{1}{t}, \quad H_0 = \frac{1}{t_0}, \quad a(t) = H_0 t$$

Linearna ekspanzija s vremenom; nema gravitacije da uspori.

Zbog te linearnosti starost svemira  $t_0 = \frac{1}{H_0}$  = Hubbleova vrijeme

(zv. Milneov svemir)

Udaljenost do galaksije (može biti jako njezika;  $\epsilon_m \approx 0$ )  
s crvenim pomakom  $z$ ?

Prava udaljenost danas je jednaka sugibajnoj; koordinata  $r$

$$d_p = \int_0^r a(t_0) dr = r \quad \text{putanja svjetla određena je RW metrikom}$$
$$ds^2 = 0 = c^2 dt^2 - a(t)^2 (dr^2 + r^2 d\Omega^2)$$

$$\Downarrow \quad \text{observacija = sada} \Rightarrow dr = \frac{c}{a(t)} dt$$

$$d_p = c \int_{t_e}^{t_0} \frac{dt}{a(t)}$$

$t_e$  emisija

zn Milneov svemir

$$d_p = c \int_{t_e}^{t_0} \frac{dt}{H_0 t} = \frac{c}{H_0} \ln \frac{t_0}{t_e} = \frac{c}{H_0} \ln(1+z)$$

$\frac{1}{a(t_e)} = 1+z$

zn mel  $z, \ln(1+z) \approx z$  ; imamo Hubbleov zakon:  $z = \frac{H_0}{c} d_p$ .

(zadnji) veliki prasak  $\equiv$   $a=0$  tj.  $z=\infty$  (datumeje)

def. starost svemira = vrijeme od velikog prasaka =  $t_0$

$$a(t=0) = 0 \longrightarrow a(t=t_0) = 1$$

$$d_p = \frac{c}{H_0} \ln(1+z)$$

objekti s  $z > 1$  su puno dalje od Hubbleovog radijusa  $c/H_0$

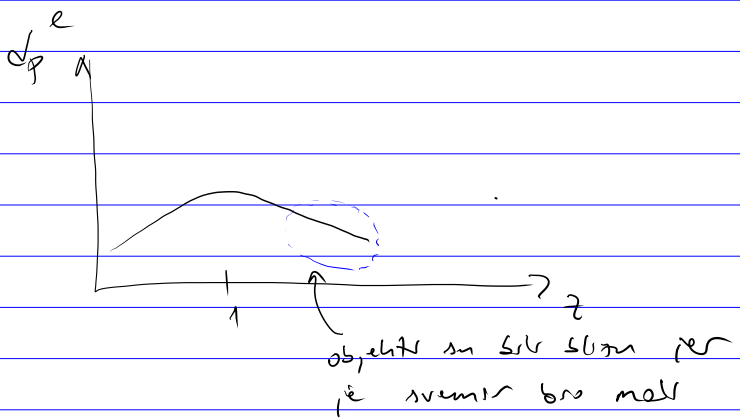
Koja je bila prava udjeljenost  $d_p^e$  u trenutku emisije svjetlosti galaksije s crvenim pomakom  $z$ ?

$$a_e = \frac{1}{1+z}$$

$$\frac{d_p^e}{d_p} = \frac{a_e}{a(t_0)=1}$$

$$\Rightarrow d_p^e = \frac{d_p}{1+z} = \frac{c}{H_0} \frac{\ln(1+z)}{1+z}$$

max at  $z=e-1=1.718$



Opendnti svemir

$$\frac{\dot{a}^2}{a^2} = \frac{8\pi G}{3c^2} \varepsilon - \frac{kc^2}{R_0^2 a^2}$$

$$\varepsilon = \sum_i \varepsilon_i = \sum_i \underbrace{\varepsilon_{i,0}}_{\Omega_{i,0} \varepsilon_{c,0}} a^{-3(1+w_i)}$$

$$\varepsilon_{c,0} = \frac{3c^2}{8\pi G} H_0^2$$

$$= H_0^2 \sum_i \Omega_{i,0} a^{-3(1+w_i)} - \frac{kc^2}{R_0^2 a^2}$$

$$\left\{ 1 - \Omega(t) = \frac{-kc^2}{R_0^2 a(t)^2 H(t)^2} \xrightarrow{t=t_0} -\frac{kc^2}{R_0^2} = H_0^2 (1 - \Omega_0) \right\}$$

$\equiv \Omega_k$   
 "o nekom křivým  
 "omega-curvature"

$$\frac{\dot{a}^2}{a^2} = H(t)^2 = H_0^2 \left( \sum_i \Omega_{i,0} a^{-3(1+w_i)} + (1 - \Omega_0) a^{-2} \right)$$

$$\downarrow$$

$$\dot{a} = H_0 a \sqrt{\sum_i \Omega_{i,0} a^{-3(1+w_i)} + (1 - \Omega_0) a^{-2}}$$

$$dt = \frac{da}{H_0 a \sqrt{\Omega_{r,0} a^{-4} + \Omega_{m,0} a^{-3} + \Omega_{\Lambda,0} + (1 - \Omega_0) a^{-2}}}$$

↑  
 - numerickým integracím možno odhadnúť  
 napr. starosť svemira z prístupnej sietav.

- za jednoduchšie sietavé možná je  
 i analytická integrácia.

Jednocomponentni ravn svemir:  $\Omega_{i,0} = \Omega_0 = 1$   
 $\uparrow$  da bi bilo  $k=0$

$$dt = \frac{da}{H_0 a \sqrt{\Omega_{i,0} a^{-3(1+w)}}} = \frac{da}{H_0} a^{\frac{3}{2}(1+w)-1} \int_0^t$$

$$t = \frac{1}{H_0} \frac{1}{\frac{3}{2}(1+w)} a^{\frac{3}{2}(1+w)} \leftarrow \text{bilo koji } t$$

$t = t_0$  (danas),  $a(t_0) = 1$ ,  $\rho$  je starost svemira

$$t_0 = \frac{1}{H_0} \frac{2}{3(1+w)} = \begin{cases} w=0 & t_0 = \frac{2}{3H_0} < t_{\text{Hubble}} = \frac{1}{H_0} \\ w < -\frac{1}{3} & t_0 > t_{\text{Hubble}} = \frac{1}{H_0} \end{cases}$$

$\downarrow$   
 A ili kratesenerije čine svemir starijim zn  
 deli  $H_0$  pa su se i opotrebljavali za  
 rješavanje problema starosti svemira

$$\Downarrow$$

$$a(t) = \left(\frac{t}{t_0}\right)^{\frac{2}{3(1+w)}} = \frac{1}{1+z} \leftarrow \text{crven pomak galaksije čije svetlo je emitirano u trenutku } t$$

Prava udaljenost  $d_p$  do promatrane galaksije sada:

$$d_p(t_0) = \int_r^0 dr = c \int_{t_e}^{t_0} \frac{dt}{a(t)} ; \text{ vremena varijable } t \rightarrow z$$

$$(1+z) = \left(\frac{t}{t_0}\right)^{-\frac{2}{3(1+w)}}$$

$$\frac{dz}{dt} = -\frac{z}{3(1+w)} \left(\frac{t}{t_0}\right)^{-\frac{2}{3(1+w)}-1} \cdot \frac{1}{t_0}$$

$$\left(\frac{1}{1+z}\right)^{\frac{3(1+w)}{2}} \left(-\frac{z}{3(1+w)}\right)^{-1}$$

$$d_p = c \int_{z_1}^{z_2} (1+z) \frac{dz}{\frac{z}{3(1+w)} \left(\frac{1}{1+z}\right)^{-1-3(1+w)/2}} = -\frac{c}{H_0} \int_z^0 dt (1+z)^{-\frac{3(1+w)}{2}} = \left\{ z' = 1+z \right\}$$

$$= -\frac{c}{H_0} \int_{1+z_1}^{1+z_2} dz' z'^{-3(1+w)/2} = -\frac{c}{H_0} \frac{1}{-\frac{1}{2}-\frac{3w}{2}} z'^{-\frac{1-3w}{2}} \Big|_{1+z_1}^{1+z_2} = \frac{c}{H_0} \frac{2}{1+3w} \left(1 - (1+z)^{-\frac{(1+3w)}{2}}\right)$$

čestičný horizont = pozice s koje svjetlo emitirano u  $t=0$  sada stize do promatrača.  
 = granice sada vidljivog svemira

horizont događaja = pozicije s koje svjetlo emitirano sada (u  $t_0$ ) stize do promatrača u  $t=\infty$   
 = granice sadašnjeg svemira ikad više vidljivog

Prava udaljenost do čestičnog horizonta:

$$d_{p-hor} = c \int_0^{t_0} \frac{dt}{a(t)} = \left. \begin{matrix} z \rightarrow \infty \\ \downarrow \\ \text{hor. događaja: } \int_0^{\infty} \end{matrix} \right\} = \begin{cases} w \leq -\frac{1}{3} \rightarrow d_{p-hor} = \infty \\ w > -\frac{1}{3} \rightarrow d_{p-hor} = \frac{c}{H_0} \frac{2}{1+3w} \end{cases}$$

Kad izračunamo  $a(t)$ , ostale informacije dobivaju se laganu, npr.

$$E_i(t) = E_{i,0} a^{-3(1+w_i)} = E_{i,0} \left( \frac{t}{t_0} \right)^{\frac{2}{3(1+w_i)}}^{-3(1+w_i)} = E_{i,0} \left( \frac{t}{t_0} \right)^{-2} \quad (\text{neovisno o } w!)$$

Dvokomponentni svemir:  $\Omega_{m,0} = \Omega_0 \neq 1 \Rightarrow (1-\Omega_0) \neq 0$   
 1. materija + 2. zakrivljenost

$$\frac{H(t)^2}{H_0^2} = \frac{\Omega_0}{a^3} + \frac{(1-\Omega_0)}{a^2}$$

Za  $\Omega_0 < 1$  RHS  $> 0$  uvijek  $\rightarrow$  beskonačno širenje

Za  $\Omega_0 > 1$   $H(t) = 0$  u trenutku kad je  $a = a_{max}$ :

$$\frac{\Omega_0}{a_{max}^3} + \frac{(1-\Omega_0)}{a_{max}^2} \Rightarrow a_{max} = \frac{\Omega_0}{\Omega_0 - 1} //$$

Nakon toga: sažimanje.

- Najpopularniji model 2. polovice XX. stoljeća

Dvohkomponentu svemir:  $\Omega_{m,0} + \Omega_{\Lambda,0} = 1$

1. materija 2.  $\Lambda$

- trenutni model našeg svemira

$$dt = \frac{da}{H_0 a \sqrt{\underbrace{\Omega_{m,0} a^{-3}}_{(1-\Omega_{m,0}) a_{m\Lambda}^3} + \underbrace{(1-\Omega_{m,0})}_{\Omega_{\Lambda}}}} = \left. \right\} a_{m\Lambda} = \left( \frac{\Omega_{m,0}}{\Omega_{\Lambda,0}} \right)^{1/3} = \left( \frac{\Omega_{m,0}}{1-\Omega_{m,0}} \right)^{1/3}$$

$$t = \frac{1}{H_0 \sqrt{1-\Omega_{m,0}}} \int_0^{a(t)} \frac{da}{a \sqrt{1 + a_{m\Lambda}^3/a^3}}$$

sympy:  $\frac{2}{3} \operatorname{arcsinh} \left( \frac{a}{a_{m\Lambda}} \right)^{3/2}$

Starost svemira:

$$t_0 = \frac{2}{3H_0 \sqrt{1-\Omega_{m,0}}} \operatorname{arcsinh} \left[ \frac{1-\Omega_{m,0}}{\Omega_{m,0}} \right] = \left. \right\} \Omega_{m,0} = 0.31 \left. \right\}$$

$$= 0.955 \cdot \frac{1}{H_0} = 0.955 \cdot \underbrace{(Hubbleova \text{ vrijeme})}_{14.4 \text{ Ga}} = \boxed{13.8 \text{ Ga}}$$

Referentni model - reame

$$H_0 = 68 \text{ km s}^{-1} \text{ Mpc}^{-1}$$

$$\Omega_{\Lambda,0} = 9.0 \times 10^{-5}$$

$$\Omega_{m,0} = 0.31$$

$$\Omega_{\Lambda,0} = 0.69$$

$$a_0 = 1$$

$$z_0 = 0$$

$$t_0 = 13.8 \text{ Ga}$$

$$a_{m\Lambda} = 0.77$$

$$z_{m\Lambda} = 0.3$$

$$t_{m\Lambda} = 10.2 \text{ Ga}$$

$$a_{rm} = \frac{1}{3400}$$

$$z_{rm} = 3400$$

$$t_{rm} = 50 \text{ ka}$$

↑  
ne može iz gorenje formule

↑  
iz gorenje formule

### Mjerenje kosmoloških parametara

Ako znamo  $\epsilon_{i,0}$  (ili  $\Omega_{i,0}$ ) Friedmannove j. nam u načelu daje  $a(t)$ :

$$\left(\frac{\dot{a}}{a}\right)^2 = \frac{8\pi G}{3c^2} \epsilon_i - \frac{k c^2}{R_0^2 a^2}$$

$H_0^2 (1 - \Omega_0)$

U praksi idemo više obrnuto: mjerimo  $a(t)$  pa određujemo  $\Omega_i$ .  
Očekujemo da je  $a(t)$  pitoma funkcija:

$$a(t) = a(t_0) + \underbrace{\frac{da}{dt}}_{=H_0} \Big|_{t=t_0} (t-t_0) + \underbrace{\frac{d^2a}{dt^2}}_{=-H_0^2 q_0} \Big|_{t=t_0} \frac{1}{2} (t-t_0)^2$$

$$H_0 = \frac{\dot{a}}{a} \Big|_{t=0}$$

$$q_0 \equiv - \left( \frac{\ddot{a}}{a H^2} \right)_{t=t_0} \quad \text{— parameter deceleracije}$$

(očekivalo se  $q_0 > 0$ , ali danas mjerimo  $q_0 \approx -0.5$ )

$H_0$  je poput početne brzine i marn se Amjeriti, ali deceleracija  $q_0$  mjereno odrediti za dati model (sastav) svemira iz Friedmannovih j., zapravo iz j. ubrzanja:

$$\frac{\ddot{a}}{a} = - \frac{4\pi G}{3c^2} \sum_i \epsilon_i (1 + 3w_i) \quad / \quad \frac{-1}{H^2}$$

$$\underbrace{- \frac{\ddot{a}}{a H^2}}_{q_0} = + \underbrace{\frac{4\pi G}{3c^2 H^2} \sum_i \epsilon_i (1 + 3w_i)}_{\frac{1}{2 \epsilon_{c,0}}}$$

$t \rightarrow t_0$ :

$$q_0 = \frac{1}{2} \sum_i \Omega_{i,0} (1 + 3w_i)$$

$\geq 0$  za  $w_i \geq -1/3$   
 $= -0.53$  za naš referentni model ( $\Omega_m = 0.31, \Omega_\Lambda = 0.69$ )

Ponovno, idući je mjeriti  $q_0$  i tako saznati nešto o  $\Omega_{i,0}$

Za to nije pogodno koristiti izravno gornji Taylorov red jer ne mjerimo  $(t-t_0)$  nego čemo  $a(t)$  relaciju pretvoriti u  $dp(z)$ :

$$d_p = c \int_{t_e}^{t_0} \frac{dt}{a(t)}$$

$$\frac{1}{a(t)} = 1 - H_0(t-t_0) + \underbrace{\frac{1}{2} q_0 H_0^2 (t-t_0)^2 + H_0^2 (t-t_0)^2}_{\left(1 + \frac{q_0}{2}\right) H_0^2 (t-t_0)^2}$$

$$d_p = c \int_{t_e}^{t_0} dt \left( 1 - H_0(t-t_0) + \dots \right) = c(t_0 - t_e) + \frac{c}{2} H_0 (t_0 - t_e)^2 + \dots$$

s druge strane,  $1+z = \frac{1}{a(t)}$  tj.

$$z = -H_0(t_e - t_0) + \underbrace{\left(1 + \frac{q_0}{2}\right) H_0^2 (t_e - t_0)^2}_{\approx z^2 + O((t_e - t_0)^3)} \quad (\text{iz ove iste jednačine iterativno})$$

$$\downarrow$$

$$t_0 - t_e = \frac{1}{H_0} \left( z - \left(1 + \frac{q_0}{2}\right) z^2 \right)$$

$$\downarrow$$

$$d_p = \frac{c}{H_0} \left( z - \left(1 + \frac{q_0}{2}\right) z^2 \right) + \frac{c H_0}{2} \left( \frac{z^2}{H_0} + O(z^3) \right)$$

$$d_p = \frac{c}{H_0} z \left( 1 - \frac{1+q_0}{2} z \right)$$

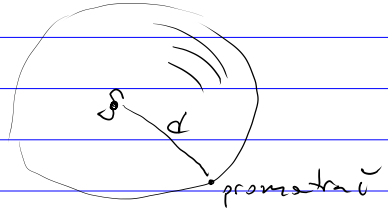
Ali želimo vidjeti odstupanje ~10% od linearnog Hubbleovog zakona u našem svemiru ( $q_0 \approx -0.5$ ),  $0.25z \gtrsim 0.1 \Rightarrow z \gtrsim 0.4$

Na  $d_p$  nije istovano mjerljiv (to je udaljenost koju bismo izmjerili u stacionom svemiru) pa uvodimo alternativne „udaljenosti“:

## Luminozitetna udaljenost

Ako objekt ima snagu  $L$  [W] (snaga zračenja) onda na udaljenosti  $d$  u statičkom euklidskom svemiru mjerimo tok svjetlosti

$$f = \frac{L}{4\pi d^2} \quad [\text{W/m}^2]$$



Na, u realnom svemiru imamo tri efekta koja mijenjaju tok  $f$ :

1. U zakrivljenom svemiru opisanom RW metrikom

$$ds^2 = c^2 dt^2 - a(t)^2 (dr^2 + S_k(r)^2 d\Omega^2)$$

površina sfere  $r = \text{const}$  je  $4\pi a(t)^2 S_k(r)^2$ .

(Sfere (poput gornje) oko izvora je isto kao sfera oko nas koje prolazi kroz izvor.)

pa  $L$  treba dijeliti s  $4\pi S_k(r)^2$  u  $t_0$  ( $a(t_0) = 1$ ).

2. Kozmička dilatacija vremena: ako izvor emitira fotone svakih  $\delta t_e$  mi ćemo ih detektirati svakih  $\delta t_o = (1+z)\delta t_e$

3. Svaki foton topli osveć pomak  $(1+z)$  pa mi se za isti faktor smanjuje energija

$$1 \& 2 \& 3 : f = \frac{L}{4\pi S_k(r)^2 (1+z)^2} \quad \left( \text{ovo se kombinira ako } f \text{ nije bolometrički } \rightarrow \text{pomak } \text{pojava} \right)$$

Definiramo luminozitetnu udaljenost  $d_L$  kao onu koju bi dala tok  $f$  kao u statičkom euklidskom svemiru

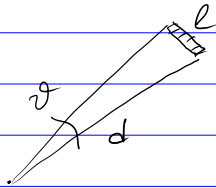
$$f = \frac{L}{4\pi d_L^2} \Rightarrow d_L = S_k(r)(1+z)$$

Naš svemir je ravan ( $k=0$ ) ili barem  $r_{izvora} \ll R_0$   
mjerimo

$$\Rightarrow S_k(r) \approx r = d_p(t_0) \quad \text{ti} \quad d_L = d_p(t_0)(1+z) = \frac{c}{H_0} z \left( 1 + \frac{1+2q_0}{2} z \right) (1+z)$$

$$d_L \approx \frac{c}{H_0} z \left( 1 + \frac{1+2q_0}{2} z \right)$$

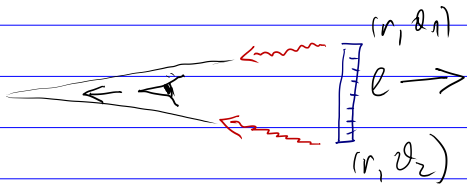
Udaljenost kutnog promjera



$$d = \frac{l}{\theta}$$

No, stvar se opet modificira u RW metrici

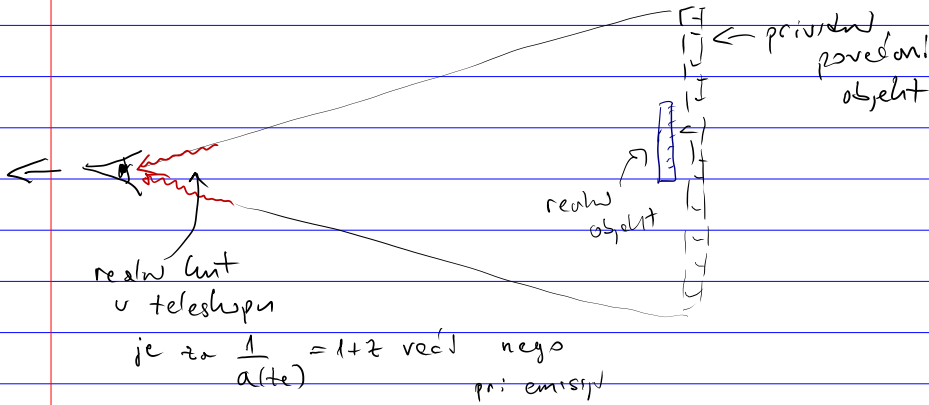
$$d\ell^2 = a(t)^2 \left( \underbrace{dr^2}_{=0} + S_k(r)^2 (d\vartheta^2 + \underbrace{\sin^2\vartheta d\varphi^2}_{=0}) \right)$$



$$l = a(t_e) S_k(r) d\vartheta$$

$$\delta\vartheta = \vartheta_2 - \vartheta_1 = \text{const.}$$

↑ najbliže koordinate

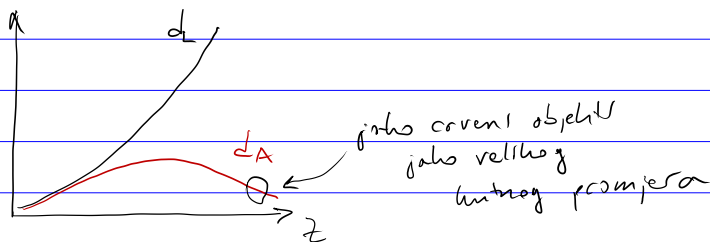


Definiramo udaljenost kutnog promjera  $d_A$ :

$$d_A \equiv \frac{l}{\delta\vartheta} = a(t_e) S_k(r) = \frac{S_k(r)}{1+z} \approx \frac{d_p(t_0)}{1+z}$$

tj.  $d_L = d_p(t_0)(1+z) = d_A(1+z)^2$

$$d_A = \frac{c}{H_0} z \left( 1 - \frac{(1+z_0)}{2} z \right) \frac{1}{1+z} = \frac{c}{H_0} z \left( 1 - \frac{3+z_0}{2} z \right)$$



$d_A$  je skoro koristan za galaksije, ali jest za CMB anizotropije.

Magnituda i modul udaljenosti svjetlosnog izvora

Hiparkova klasifikacija zvijezda po (opaćenom) sjaju:

$$\text{magnituda } m = \begin{cases} -1.5 & \text{Sirius} \\ 0 & \text{Vega} \\ 6 & \text{najtamnije zvijezde vidljive golim okom} \end{cases}$$

Oko ima logaritamsku osjetljivost i Hiparkova skala je kasnije precizirana:

$$m = -2.5 \log_{10} \frac{f}{f_x} \quad \leftarrow \text{udaljeni tok svjetla (sve frekvencije)}$$

$$f_x = 2.53 \times 10^{-8} \text{ W/m}^2$$

(To je tzv. bolometrička magnituda  $m = m_{bol}$ . Astronomi koriste i pojaseve:  $m_B$  (blue),  $m_V$  (visual), ...)

Apsolutna magnituda  $M \stackrel{\text{def.}}{=} \text{prividna mag. na } d_L = 10 \text{ pc}$

$$m(d_L) = -2.5 \log_{10} \frac{L / (4\pi d_L^2)}{f_x} = 5 \log_{10} \frac{d_L}{\sqrt{L / (4\pi f_x)}}$$

$$M = m(10 \text{ pc}) = 5 \log_{10} \frac{10 \text{ pc}}{\sqrt{L / (4\pi f_x)}} \cdot \frac{d_L}{d_L} \cdot \frac{M_{pc}}{M_{pc}} = m - 5 \log_{10} \frac{d_L}{M_{pc}} - 25$$

Modul udaljenosti  $\mu \equiv m - M = 5 \log_{10} \frac{d_L}{M_{pc}} + 25$

(Npr.  $\mu_{LMC} = 5 \log_{10} 0.05 + 25 = 18.5$ )  
 ↗ Large Magellanic cloud, na 50 kpc

$$\left\{ d_L = \frac{c}{H_0} z \left( 1 + \frac{1-q_0}{2} z \right) \right.$$

$$\mu = -5 \log_{10} \frac{H_0 \cdot M_{pc}}{c} + 5 \log_{10} z + 5 \log_{10} \left( 1 + \frac{1-q_0}{2} z \right) + 25$$

Fit se  $\mu$  vs  $\log z$   
 to mali  $z$  i  
 određuje  $H_0$

$$\underbrace{\log_{10} e \cdot \ln}_{0.434} \cdot \underbrace{\left( 1 + \frac{1-q_0}{2} z \right)}_{\approx \frac{1-2q_0}{2} z} = 1.086 (1-q_0) z$$

## Standardne svijeće i ljestvica kozmičkih udaljenosti

Da bi odredili  $\mu$  trebamo standardne svijeće poznatog apsolutnog sjaja  $M$ . Najvažnije standardne svijeće

1. cefeide : zvijezde čiji period pulsacije sjaja  $P$  ovisi o apsolutnom sjaju

$$M = a \log P + b \quad (P-L \text{ relacija})$$

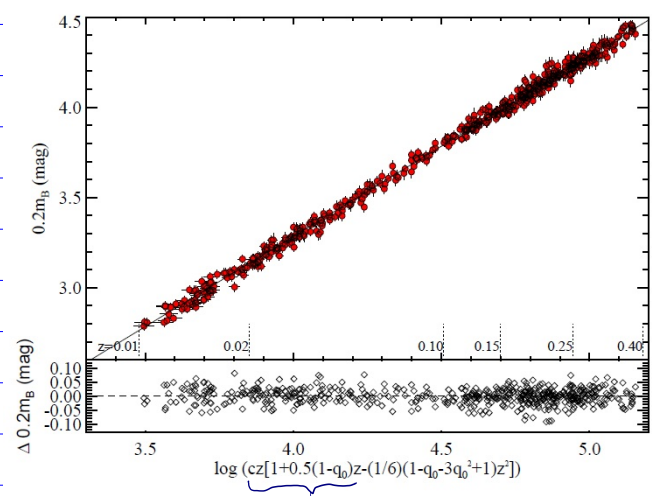
(Ovo se može računati - veća zvijezda sporije pulsira - ali  $a$  i  $b$  se ne mogu računati nego se mjere.)

2. supernove SN Ia : nastaju nakupljenom materije u dvojnog sustavu na bijel patuljaka blizu tzv. Chandrasekharove granice. Kad se granica pređe dolazi do eksplozije i skoro uvijek istim  $M \approx -19.2$ .  
(Može se računati, ali mjerenje su još uvijek bolje.)

U upotrebi je bilo i jest dvadesetak metoda određivanja apsolutnog sjaja /apsolutne udaljenosti. Jedna moderna ljestvica mjerenje udaljenosti jest:

1. Mjerenje 1 AU radarškim mjerenjem udaljenosti Marsa i korištenjem Newtonovih zakona
2. Mjerenje paralakse bliskih zvijezda (što daje apsolutnu udaljenost pomnoženis 1 AU). Sateliti Hipparcos i Hubble su omogućili da se ovom metodom ide do  $\sim 300$  pc.
3. Mjerenje sjaja i periode bliskih cefeide u našoj galaksiji; kojima možemo odrediti udaljenost paralakom  
 $\rightarrow$  kalibracija  $P-L$  relacije
4. Mjerenje apsolutnog sjaja supernovih SN Ia koje eksplodiraju u galaksijama u kojima vidimo i cefeide (pa im iz  $P-L$  relacije znamo udaljenost)
5. Mjerenje dalekih supernovih SN Ia i određivanje kozmoloških parametara

1. Mjereње  $H_0$

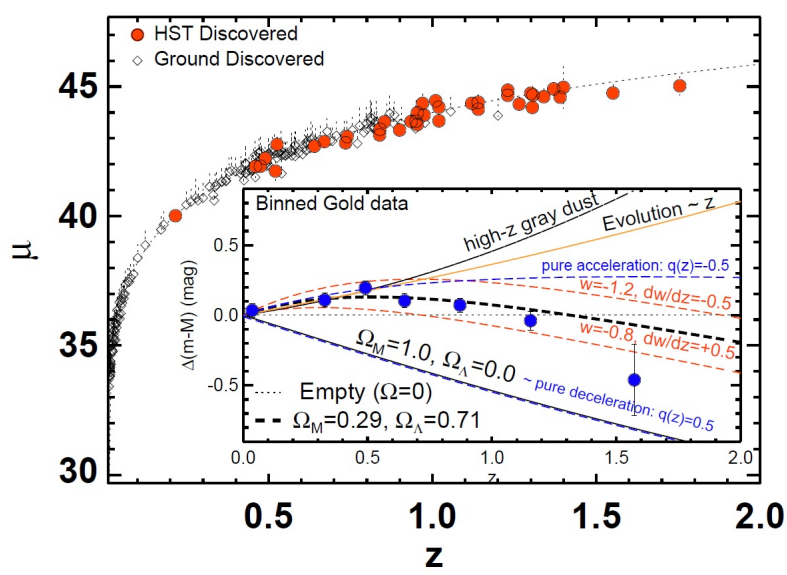
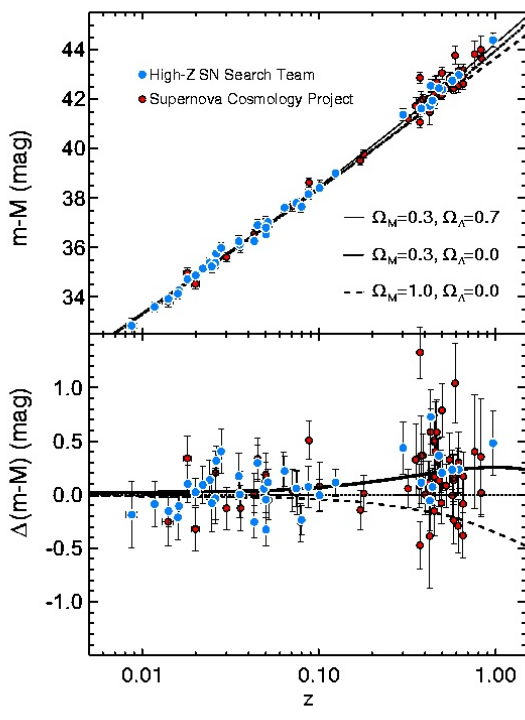


$\Rightarrow H_0 = 73.25 \pm 1.74$   
 km/s/Mpc

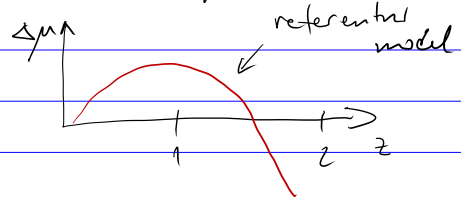
Fig. 8.— Hubble diagram of more than 600 SNe Ia at  $0.01 < z < 0.4$  in units of  $\log cz$ .

$\log(H_0 d_L)$

2. Dokazivanje  $\Lambda$ :

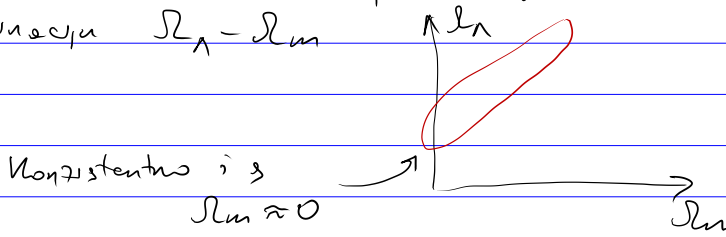


$a_{m\Lambda} = 0.77$   
 $\Rightarrow z_{m\Lambda} \sim 0.3$   
 za  $z > z_{m\Lambda}$  oćeljuje se  
 deceleracija



# Tamna tvar

Vidjeti smo da SN Ia pokazuje ograničavajući samo kombinaciju  $\Omega_{\Lambda} - \Omega_m$



Pogledajmo alternativne metode određivanja  $\Omega_m$  i njegovih komponenta (zvijezde, tamna barionska tvar, tamna (nebarionska) tvar)

## Vidljiva tvar: zvijezde

1. Mjerimo gustodu svjetla izvora svjetla (galaksije) koja je (uprosječeno)

$$\rho_V = 1.1 \times 10^8 L_{\odot, V} / \text{Mpc}^3$$

↑ vidljivi dio spektra - krant čemo se upogor u ovom pogledu

2. Procijenimo omjer mase prema svjetlu  $M/L$  za zvijezdani populaciju

$$\Rightarrow \rho_{\text{zvijezde}} = \frac{M}{L} \Big|_{\text{zvijezde (prosječno)}} \cdot \rho_V$$

(Idemo tako razbilazimo jer je običaj i za druge vrste materije odrediti  $M/L$ , a ne npr.  $\rho$ .)

Omjer  $M/L$  se tradicionalno izražava u jedinicama

$$\frac{M_{\odot}}{L_{\odot}} = \frac{1.99 \times 10^{30} \text{ kg}}{3.8 \times 10^{26} \text{ W}}$$

Zvijezde su plus raznolike i

$$0.03 \frac{M_{\odot}}{L_{\odot}} \lesssim \frac{M}{L} \lesssim 2000 \frac{M_{\odot}}{L_{\odot}}$$

↑  
 $M = 60 M_{\odot}$   
(manje ih je i kraće žive)

Srednji

$$\frac{M}{L} \Big|_{\text{zvijezde}} \sim 4 \frac{M_{\odot}}{L_{\odot}}$$

$$\Omega_{\text{zvezde},0} = \frac{\rho_{\text{zvezde},0}}{\rho_{c,0}} = \frac{M}{V} = \frac{M}{L \cdot \frac{L}{V}} = \frac{M/L}{\rho_{c,0}/4v}$$

$$\frac{\rho_{c,0}}{4v} = \frac{9 \times 10^{-24} \text{ kg m}^{-3}}{1.1 \times 10^8 \text{ L}_{\odot} / \text{Mpc}^3} = \frac{9 \times 10^{-24} \text{ kg m}^{-3} \cdot (3.09 \times 10^{16+6} \text{ m/Mpc})^3}{2 \times 10^{30} \text{ kg}/M_{\odot} \cdot 1.1 \times 10^8 \text{ L}_{\odot} / \text{Mpc}^3}$$

$$= \frac{0.9 \cdot 3.09^3}{2 \cdot 1.1} \cdot 10^{-26+3 \cdot 22-30-8} \frac{M_{\odot}}{L_{\odot}} \sim 1200 \frac{M_{\odot}}{L_{\odot}}$$

$$\Omega_{\text{zvezde},0} \approx \frac{4 M_{\odot}/L_{\odot}}{1200 M_{\odot}/L_{\odot}} \sim 0.003 \text{ tj. } 3\%$$

Barionska tvar: sva tvar poznate prirode: atomi, ioni, elektroni  
(dominantna komponenta su protoni i neutroni - otud imena)

- planeti, kometi, asteroidi - zanemarivo (vidi Sunčev sistem: Sunce 99,9% mase)
- zvezde - sadimo ih imamo
- međugalaktički plin - preostao nakon formiranja zvezda/galaksija
  - ioniziran značajem povik zvezda (Pop III)
  - uglavnom vruće ( $10^5 - 10^8 \text{ K}$ ) i rijetke (nekoliko - nekoliko  $\times 10 - 100 \text{ } \dot{\text{c}}/\text{m}^3$ )

- masa se može procijeniti iz intenziteta emitiranog X-zračenja: 10x više nego zvezde!  $\Rightarrow \Omega_b \sim 0.03$

Postoje preciznije indirektna metode:

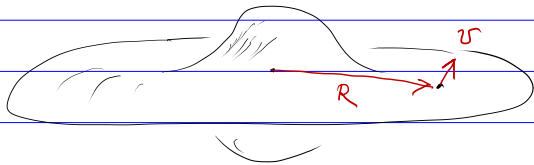
- prvotna nukleosinteza (koliko stvorenoy He ovisi o gustoći)  $\rightarrow \Omega_b \sim 0.05$
- CMB anizotropije (barionska plazma ttera za razliku od DM koja ne interagira s fotonima  $\rightarrow \Omega_b = 0.048 \pm 0.003$ )

$$\Rightarrow \Omega_b \approx 0.05 \text{ (barioni ukupno)}$$

Dosad navedene metode mjere  $\rho_g$  - materijm koja međudjeluje s elektromagnetskim zračenjem.

Za detekciju preostale tvari u svemiru oslanjamo se na njemu gravitaciju.

Tamna tvar u galaksijama



zvezda na R od središta  
- obodna brzina v

Izjednačavanjem gravitacione i centrifugalne sile

$$a = \frac{v^2}{R} = \frac{GM(R)}{R^2}$$

$M(R)$  - masa sadržana unutar radijusa R

- pretpostavljamo sferičnu raspodjelu što ne uvodi velik grešak

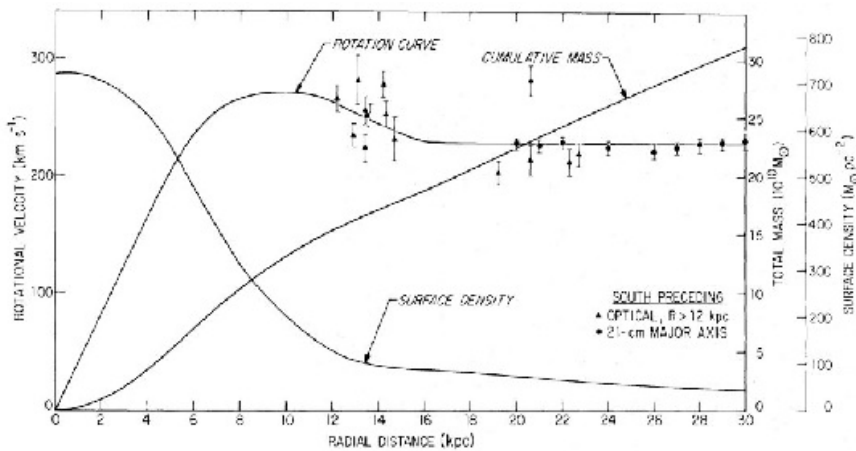
$$v = \sqrt{\frac{GM(R)}{R}}$$

- većina baronske mase u svijetlećem dijelu galaksije je u zvezdama, a ne u međuzvezdnom plinu

MB1:

Rubin & Ford

(s D  
Dopplerovog  
pomaka)



ovdje bismo očekivali "keplerovsko" ponašanje  $v \propto \frac{1}{\sqrt{R}}$

Naša galaksija:

Ako bismo ostale konstante do radijusa R, imamo

$$M(R) = \frac{v^2 R}{G} = \left. \begin{array}{l} v = 235 \text{ km/s} \\ 10^5 \cdot 3.09 \times 10^{16} \text{ m} \end{array} \right\}$$

$$= \frac{(235 \cdot 10^3 \text{ m/s})^2 \cdot 100 \text{ kpc}}{6.67 \times 10^{-11} \text{ m}^3/\text{kg s}^2} \left( \frac{R}{100 \text{ kpc}} \right) \frac{M_\odot}{2 \times 10^{30} \text{ kg}}$$

$$= \frac{2.35^2 \cdot 10^{10} \cdot 10^5 \cdot 3.09 \times 10^{16}}{6.67 \times 10^{-11} \cdot 2 \times 10^{30}} M_\odot \left( \frac{R}{100 \text{ kpc}} \right)$$

$$= 1.28 \times 10^{\frac{10+5+16+11-30}{2}} M_\odot \left( \frac{R}{100 \text{ kpc}} \right)$$

$$L_{\text{gal},V} = 2 \times 10^{10} L_{\odot,V}$$

$$\Rightarrow \frac{M}{L} \Big|_{\text{galaksija}} = 64 \left( \frac{R}{100 \text{ kpc}} \right) \frac{M_\odot}{L_{\odot,V}}$$

Problem: R ide do 75 kpc (R Magellan ~ 60 kpc)

$$\Downarrow$$

$$\frac{M}{L} \Big|_{\text{galaksija}} \approx 48 \frac{M_\odot}{L_\odot}$$

10x više nego zvijezde,  
(a plus ima manje)

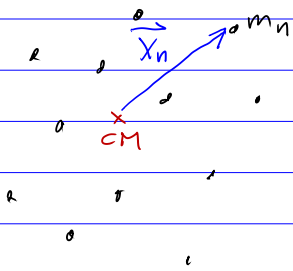
$\Downarrow$   
DM!

Tamna tvar u jatuina galaksije

eng. cluster = jeto, grozd

Kao i Zwicky u 1930-ima, koristimo virijalni teorem za jeto u Berenikinoj kosi (Coma cluster)

NR sustav točkastih masa



$$m_n \ddot{X}_n = - \frac{\partial V}{\partial X_n^i} \quad (*)$$

↑  
nije sumirano

$$V = - \frac{1}{2} \sum_{n \neq l} \frac{G m_n m_l}{|\vec{X}_n - \vec{X}_l|} \quad (\text{potencijal})$$

$\frac{1}{2}$  kompenzira dvostruko brojenje

$$\sum_n \ddot{X}_n^i \quad (*) \Rightarrow - \sum_n X_n^i \frac{\partial V}{\partial X_n^i} = \sum_n m_n \left( \underbrace{\ddot{X}_n \cdot \ddot{X}_n}_{\frac{1}{2} \frac{d^2}{dt^2} (\vec{X}_n)^2} + \underbrace{\ddot{X}_n \cdot X_n}_{=0} - \underbrace{X_n \cdot \ddot{X}_n}_{\vec{v}_n^2} \right)$$

{ za f(x) homogeni  
n x (x d/dx) broj  
red/potenciju od x }

$$\sum m_n \vec{X}_n^2 = I \quad (\text{moment inercije})$$

$$\frac{1}{2} \sum m_n \vec{v}_n^2 = T \quad (\text{kinetička energija})$$

$$\boxed{2T + V = \frac{1}{2} \ddot{I}}$$

Kad je sustav u statističkoj ravnoteži ("virijaliziran"):  $\ddot{I} = \text{const.}$

$$2T + V = 0$$

$$T = \frac{1}{2} \sum m_n \vec{v}_n^2 = \frac{1}{2} \underbrace{(\sum m_n)}_M \underbrace{\sum \vec{v}_n^2}_{\langle v^2 \rangle} = \frac{1}{2} M \langle v^2 \rangle$$

$\langle v^2 \rangle$  - težinski usrednjena brzina

$$\text{Sto} V = - \frac{1}{2} G M^2 \langle \frac{1}{r} \rangle = -2T = -M \langle v^2 \rangle$$

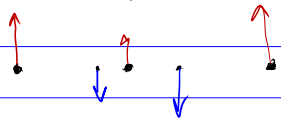
$$\Rightarrow \boxed{M = \frac{2 \langle v^2 \rangle}{G \langle 1/r \rangle}}$$

$\langle v^2 \rangle$  određujemo iz disperzije brzina

$$v^2 = \langle (v - \langle v \rangle)^2 \rangle = \langle v^2 \rangle$$

$\underbrace{\quad}_{=0 \text{ (u cm sustavu)}}$

Mjerimo Dopplerov efekt



$$\Rightarrow v_z^2, \text{ no } v^2 = v_x^2 + v_y^2 + v_z^2$$

$\uparrow \hat{z}$       pa iz isotropije:

$$\langle v^2 \rangle = 3 \langle v_z^2 \rangle$$

$\langle 1/r \rangle \sim 1/r_h$      $r_h$  - radius unutar kojeg je pola mase galaksije (half-mass radius)

Za jato u Bodeovskoj kosi je izmjereno

$$\langle v^2 \rangle = 3 \cdot 880 \text{ km/s}$$

$$\langle 1/r \rangle \sim 1/r_h \sim 1.5 \text{ Mpc}$$

$$L = 5 \times 10^{12} L_\odot$$

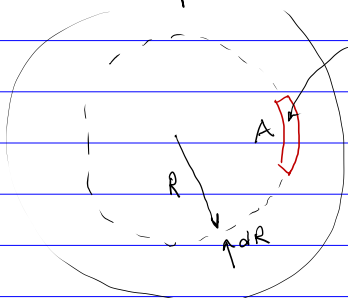
$$M = \frac{2 \cdot 3 \cdot 10 \cdot 880^2 \text{ m/s}^2}{6.67 \times 10^{-11} \text{ m}^3 \text{ s}^{-2} \text{ kg}^{-1}} \cdot 1.5 \times 3.09 \times 10^{16+6} \text{ m}$$

$$\sim 4 \times 10^{\frac{12+22+11}{45}} \text{ kg} \cdot \frac{M_\odot}{2 \times 10^{30} \text{ kg}} = 2 \times 10^{15} M_\odot$$

$$\frac{M}{L} \Big|_{\text{coma cluster}} = \frac{2 \times 10^{15} M_\odot}{5 \times 10^{12} L_\odot} = 400 \frac{M_\odot}{L_\odot}$$

(U usporedbi s pojedinačnim galaksijama za koje  $\frac{M}{L} \sim 50-100 \frac{M_\odot}{L_\odot}$ )

Alternativna metoda određivanja ukupne mase jata koristi mjerenje X-zračenja vrućeg plina ( $10^8 \text{ K}$ ) u jatu za kojeg se čini da je u hidrostatičkoj ravnoteži (tlak plina u ravnoteži s gravitacijskom silom).



$$dm = \rho dV = \rho A dR$$

$$-G \frac{M(r) dm}{R^2} = dP \cdot A$$

$$-G \frac{M(r) \rho A dR}{R^2}$$

$$\frac{dT}{dr} = - \frac{\overset{\text{ukupno}}{\downarrow} GM(r) \overset{\text{samo plin}}{\downarrow} \rho_{\text{gas}}(r)}{r^2}$$

Idealni plin:  $PV = NkT \Rightarrow P = \frac{\rho_{\text{gas}}}{\mu} kT$   
 $\mu$  = masa čestice plina

Ne mjerimo  $T(r)$  i  $\rho_{\text{gas}}(r)$  nego modeliramo poznatu funkciju

račenja talne plazme i prilagodbeno na mjerenje tračene, određujemo  $T(r), \rho_{\text{gas}}(r) \rightarrow M(r)$ . (Bole od vrijednosti pristupa koji daje samo  $M(r)$ )

Rezultati:  $M \sim 1.3 \times 10^{15} M_{\odot}$  (konstantno s vrijednost pristupa)

$$\Omega_{\text{cluster}} = \frac{\rho_{\text{cluster}}}{\rho_{\text{gas}}} = \left( \frac{\rho_{\text{gas}}}{\rho_{\text{gas}}} \right) = \frac{(M/L)_{\text{cluster}}}{\rho_{\text{gas}}/4\pi} = \frac{400 M_{\odot}/L_{\odot}}{1200 M_{\odot}/L_{\odot}} = 0.3$$

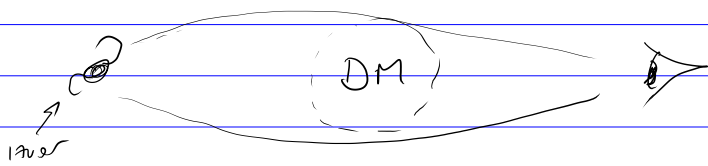
Kvalitetnije analize:

$$\boxed{\Omega_{\text{cluster}} \sim 0.15 - 0.2} \Rightarrow \Omega_b \sim 0.05$$

⇓  
 nebarionska tamna tvar!

Da bi dobili  $\Omega_m$  u  $\Omega_{\text{cluster}}$  nedostaje još eventualno homogena neklasterirana potadina (po simulacijama toga nema puno)

# Metode gravitacione leće



- vidimo zvelan svet

## 1. Traženje MACHO-a (Massive Compact Halo Object)



Rezultat

$$M_{\text{MACHO}} \leq 8\% M_{\text{HALO}}$$

⇓

DM uglavnom nije u kompaktnim objektima nego je difuzna

## 2. Određivanje mase jata galaksija



- vidimo deformisanu sliku galaksije "weak lensing" "cosmic shear"

Rezultat: slaže se s vinogradnim teoremom; hidrostatičkim masom  $H_0$  i  $\Omega_{\text{cluster}} \sim 0.2$

## Kandidati na nebarionsku tamnu tvar

- čestice iz proširenja standardnog modela  
npr. axioni, najlakši supersimetrični partneri

$$\downarrow m \sim 10^{-5} \text{ eV}$$

$$\downarrow m \sim 10^{12} \text{ eV}$$

- WIMPs (Weakly Interacting Massive Particle): eksperimenti ih bezuspešno traže (XENON)

- neutrini  $m_\nu \sim 3.8 \text{ eV} \Rightarrow \Omega_\nu = 0.26$

↑  
- tu gdje je osjetljivost direktnih potraga

- no utječu na formiranje strukture:  $m_\nu < 1 \text{ eV}$

### Razvezivanje čestičnih vrsta u ravnim svemiru

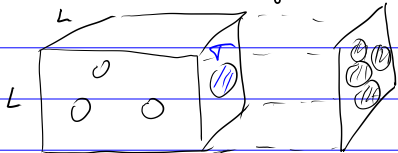
Promatamo konkretnu vrstu čipa je gustoća u nekom trenutku  $n$  čestica po jediničnom volumenu.

$$n \propto \frac{1}{a^3} \quad (\text{ako nema stvaranja/uništenja čestica})$$

$$\frac{d}{dt}(na^3) = 0$$

↳ broj čestica u jediničnom suglobučnom volumenu  
→ ne mijenja se

Ako čestice interagiraju s udarnim presjekom  $\sigma$ , srednji slobodni put  $\lambda$  je



$\lambda$  - duljina za koju udarna površina centara raspršuje

$$N \cdot \sigma = n \cdot V \cdot \sigma = n \cdot \lambda \cdot V = L$$

↳ prosječno „prekriće cijel presjek  $L^2$ “

$$\Rightarrow \lambda = \frac{1}{n\sigma}$$

Broj interakcija u jedinici vremena za jednu česticu brzine  $v$ :

$$\Gamma = \frac{v}{\lambda} = n v \sigma$$

Ako u toj interakciji čestice nestaju (npr.  $1+2 \rightarrow 3+4$ ) ukupna promjena suglobučne gustoće je

$$\frac{d}{dt}(na^3) = -\Gamma na^3 = -n^2 \sigma v a^3$$

broj interakcija po čestici      koliko ih ima

No, postoji i inverzna reakcija  $3+4 \rightarrow 1+2$  pa je

$$\frac{d}{dt}(na^3) = -(n^2 - n_{eq}^2) \sigma v a^3$$

Boltzmannova jednačina

↳ ravnotežna gustoća

$N \equiv na^3$  (suglobučna gustoća)

$$\frac{dN}{dt} = \frac{dN}{da} \frac{da}{dt} = -\underbrace{n^2 \sigma v a^3}_{=N\Gamma} \left(1 - \frac{n_{eq}^2}{n^2}\right)$$

$= H \cdot a$

$\Gamma \gg H$  :  $N \rightarrow N_{eq}$  (gustoća je ravnotežna)

$$\frac{d \ln N}{d \ln a} = -\frac{\Gamma}{H} \left(1 - \frac{N_{eq}^2}{N^2}\right)$$

$\Gamma < H$  : vrsta se razvezuje od interakcije

(ako je nestabilna,  $N \rightarrow 0$  nakon toga)

# Kozmičko pozadinsko zračenje (CMB)

Preostalo nakon razmješivanja fotona od elektrona.

Kratka povijest: 1964. Penzias & Wilson - otkriće.

90.-e COBE - spektar crnog tijela + otkriće anizotropije

00.-e WMAP } precizno mjerenje  
10.-e Planck } anizotropije

- CMB je u području jakе absorpcije rotacionim modovima vode

⇒ sateliti bliže barem prišli pol

## Rezultati opažanja

1.  $T = 2.7255 \pm 0.0006$  ← najbivričnije crno tijelo

2. dipolna anizotropija  $\pm 10^{-3} K$  - Doppler zbog gibanja instrumenta relativno prema CMB/ekw sustavu:

- Zemlja oko Sunca:  $30 \text{ km s}^{-1}$

- Sunce oko središta galaksije:  $235 \text{ km s}^{-1}$

- galaksije i lokalna grupa:  $630 \text{ km s}^{-1}$  prema Hidri  
(„Veliki atraktor“??)

3.  $\frac{\delta T}{T} \sim 10^{-5}$  (nakon što se dipol odračuna)

⇒ kozmologija postaje „precision science“

## Formiranje CMB Kada je razmješivanje? ( $a=?$ , $T=?$ , $z=?$ )

1. Super-navirni i super-pogrešni račun.

Kada je  $\Gamma \sim H$  ?

$$\Gamma = n \sigma v$$

- Thomsonovo raspršenje ( $E_\gamma \ll m_e$ ):  $\sigma_e = 6.65 \times 10^{-29} \text{ m}^2$  ( $\propto \frac{1}{m_e^2}$  jer su tako protoni nebitni)

-  $v = c$

$$n = n_e = n_p = \frac{n_{b,0}}{a^3}, \quad n_{\gamma,0} = \frac{E_{b,0}}{m_p c^2} = \frac{\rho_{b,0} \cdot E_{c,0}}{m_p c^2}$$

$$= \frac{0.048 \times 8.7 \times 10^{-27} \text{ kg/m}^3}{1.67 \times 10^{-27} \text{ kg}} = 0.25 \text{ m}^{-3}$$

(5% od  $\rho_c = 3 \text{ mp/m}^3$ )

$H(a)$  nam daje Friedmannova jednačba.  
Pretpostavimo da se razvijanje događa u vrijeme  
dominacije materije (rezultat će pokazati da je to tačno):

$$H = H_0 \sqrt{\frac{\rho_{m,0}}{a^3}} = \dot{a} = c \sqrt{\rho_{e,0} \frac{n_{b,0}}{a^3}}$$

$$\Rightarrow a = 0.025, \quad z = \frac{1}{a} - 1 = 38$$

$T = ?$   $E_\gamma = kT^4$  (Stefan-Boltzmann)

istovremeno  $E_\gamma = \frac{E_{\gamma,0}}{a^4}$  (od razvijanja do danas sigurno, a uglavnom i ranije)

$$\Rightarrow \frac{E_\gamma}{E_{\gamma,0}} = \frac{1}{a^4} = \frac{T^4}{T_0^4} = \frac{T^4}{T_{CMB}^4} \Rightarrow T = \frac{T_{CMB}}{a} = T_{CMB}(1+z)$$

$$\Rightarrow T = \frac{2.7 \text{ K}}{0.025} = 107 \text{ K}$$

Ne, to bi vrijedilo kad bi elektroni bili slobodni cijelo vrijeme.  $E_\gamma \sim kT = 0.01 \text{ eV} \ll 13.6 \text{ eV}$

$\Rightarrow e^-$  i  $p$  se spajaju u neutralni vodik  
prije ranije i fotoni se tada rasvijetljavaju.

Relevantna interakcija nije Thomsonovo raspršenje na slobodnom elektronu nego ionizacija  $\gamma + H \leftrightarrow e^- + p$

Kada se dogodi rekombinacija? ( $e^- + p \rightarrow H$ ) (svemir je neutralan)

Def frakcijska ionizacija  $X \equiv \frac{n_p}{n_p + n_H} \approx \frac{n_p}{n_b} = \frac{n_e}{n_b}$   
↑ barioni

(Zanimljivo uloga He koji je već neutralan u vrijeme rekombinacije.)

Definiramo trenutak rekombinacije kad je  $X = 1/2$ .  
(Nekad u literaturi  $X_{\text{recomb.}} = 0.1$ )

2. Malo manje, ali još uvijek dosta netuno:

Tražimo trenutak kad je prosječna energija fotona  $\sim 13.6$  eV

$$E_{\gamma} = \kappa T^4 = \frac{\pi^2 k^4}{15 \hbar^3 c^3} T^4 = 7.57 \times 10^{-16} \text{ J m}^{-3} \text{ K}^{-4}$$

$$n_{\gamma} = \rho T^3 = \frac{2.4}{\pi^2} \frac{k^3}{\hbar^3 c^3} T^3 = 2.03 \times 10^7 \text{ m}^{-3} \text{ K}^{-3}$$

$$\Rightarrow \langle E_{\gamma} \rangle = \frac{E_{\gamma}}{n_{\gamma}} = 2.7 \text{ kT}$$

$$T_{\text{recomb?}} = \frac{13.6 \text{ eV}}{2.7 \text{ k}} = \frac{13.6 \text{ eV}}{2.7 (8.6 \times 10^{-5} \text{ eV/K})} = 59000 \text{ K}$$

Ali, prisjetimo se:

$$n_{\gamma,0} = 411 \text{ cm}^{-3} \quad \text{vs.} \quad n_{b,0} = 0.25 \text{ m}^{-3}$$

$$\Rightarrow \eta = \frac{n_{b,0}}{n_{\gamma,0}} = 6.1 \times 10^{-10}$$

$\Rightarrow$  I na nižim temperaturama u reži Planckove raspodjele ima dovoljno fotona s energijom  $E \sim 13.6$  eV!

### 3. Ispravan pristup

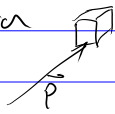
- Trebamo i  $\eta$  uključiti u račun tj. raditi s cjelom raspodjelom po energijama i za elektrone i za fotone (i za  $q$  i  $h$ )

Pretpostavke:

- sustav je u toplinskoj ravnoteži.  $T$  je ista za sve vrste (prestaje biti tačno kad  $X \rightarrow 0$ )

- sustav je u kinetičkoj ravnoteži. Vrste posjeduju Fermi-Dirac ili Bose-Einstein distribuciju. (Dovoljno je vremena za preraspodjelu energije sustavima)

za FEČ1: Broj raspoloživih kvantnih stanja u  $d^3p$  volumenu impulsnog prostora



$$V \frac{d^3p}{h^3 (2\pi)^3} = \frac{V d^3p}{h^3} = V \frac{4\pi p^2 dp}{h^3}$$

Pa je raspodjela po impulsima (broj čestica s impulsom između  $p$  i  $p+dp$  za vrstu  $x$ ):

$$n_x dp = g_s \frac{1}{e^{(E-\mu)/kT} + 1} \cdot \frac{4\pi p^2 dp}{h^3}$$

broj „internih“ kvantnih stanja po ćeliji faznog prostora

$$g_s = \begin{cases} 2 & \text{za } \gamma, e^-, p \text{ (polarizacije/spinovi)} \\ 4 & \text{za } H \text{ (spinovi } e^- \text{ i } p) \end{cases}$$

Čak i za Trehomb (nolova) = 59 000 K  $\rightarrow kT = 5$  eV elektron bi bio nerelativistički, a sada pogotovo:

$$E = mc^2 + \frac{p^2}{2m} \gg kT \quad \left. \vphantom{E} \right\} \frac{1}{e^{\epsilon \pm 1}} \approx e^{-\epsilon}$$

za  $x = e^-, p, H$ :

$$n_x dp = g_x \frac{4\pi}{h^3} e^{-(m_x c^2 - \mu_x)/kT} \underbrace{e^{-\frac{p^2}{2m_x kT}} p^2 dp}_{\frac{\sqrt{\pi}}{4} (2m_x kT)^{3/2}} \int_0^\infty$$

$$n_x = g_x \left( \frac{m_x kT}{2\pi \hbar^2} \right)^{3/2} e^{-(m_x c^2 - \mu_x)/kT}$$

Na temperaturi T:

$$\frac{n_H}{n_e n_p} = \frac{g_H}{g_e g_p} \left( \frac{m_H}{m_e m_p} \right)^{3/2} \left( \frac{kT}{2\pi \hbar^2} \right)^{-3/2} e^{\frac{[(m_e + m_p - m_H)c^2 + (M_H - M_p - M_e)]/kT}{kT}}$$

$\underbrace{\frac{g_H}{g_e g_p}}_{= \frac{1}{2} = 1} \quad \underbrace{\left( \frac{m_H}{m_e m_p} \right)^{3/2}}_{\approx m_e^{-3/2}} \quad \underbrace{\left( \frac{kT}{2\pi \hbar^2} \right)^{-3/2}}_{\approx \lambda_e^3}$

$\underbrace{e^{\frac{[(m_e + m_p - m_H)c^2 + (M_H - M_p - M_e)]/kT}{kT}}}_{\approx 13.6 \text{ eV} \quad \underbrace{= 0}_{\text{u kemijskoj ravnoteži:}}}$

$M_H + M_p = M_e + M_e$   
 $\underbrace{= 0}$

$$\frac{n_H}{n_e n_p} = \left( \frac{m_e kT}{2\pi \hbar^2} \right)^{-3/2} e^{Q/kT}$$

Sahlna jednačina

$\underbrace{\quad}_{= \lambda_e^3}$  - termalna de Broglieva valna dužina elektrona

$$\text{LHS} = \frac{n_H}{n_p^2} \quad (n_e = n_p)$$

$$X = \frac{n_p}{n_p + n_H} \rightarrow \frac{n_H}{n_p} + 1 = \frac{1}{X} \rightarrow \frac{n_H}{n_p} = \frac{1-X}{X}$$

$$\frac{1-X}{X} = n_p \left( \right)^{-3/2} e^{Q/kT}$$

$$n_p = X n_b = X \eta n_\gamma, \quad n_\gamma = \frac{2.4}{\pi^2} \left( \frac{kT}{hc} \right)^3$$

$$\frac{1-X}{X^2} = \frac{2.4}{\pi^2} \left( \frac{kT}{hc} \right)^3 \eta \left( \frac{m_e kT}{2\pi \hbar^2} \right)^{-3/2} e^{Q/kT}$$

= 3.83

$$\frac{1-X}{X^2} = 3.83 \eta \left( \frac{kT}{m_e c^2} \right)^{3/2} e^{Q/kT}$$

Numerički (vidi na githubu)  $X=0.5$  za  $T_{rec} = 3760 \text{ K}$

$$z = \frac{T_{rec}}{T_{CMB}} - 1 = 1379$$

Rekombinacija s emisijom jednog fotona energije  $\sim 13.6 \text{ eV}$  nije efikasna jer taj obično rezonira drugl atom vodika. Treba ići kasnije s dva fotona manjih energija

→ korekcija za  $\sim 10-15\%$   $z \approx 1200$

Reverziranje fotona  $\Gamma \approx H$  je sad

$$\Gamma(z) = X(z) (1+z)^3 n_{\gamma 0} V_e C = H(z) = H_0 \sqrt{\Omega_{m,0} (1+z)^3}$$

modifikacija oblikom na super-nalim ranij pristup

numerička:  $z_{dec} = 1121$

$z_{last-scatter} \approx z_{dec}$

## Anizotropije CMB-a

Svemir nije bio savršeno homogen i izotropan u vrijeme rekombinacije i odvetivanja fotona. Tadašnje varijacije gustoće su zračili današnje strukture svemira (galaksije, jata, ...)

To se odražava na temperaturi CMB-a:

$$\frac{\delta T}{T}(\hat{n}) \quad \uparrow \text{ smjer promatranja}$$

$\hat{n} \equiv (\theta, \varphi)$ , ali temperatura u konkretnom smjeru  $\hat{n}$  nas ne zanima (ovisi o našem položaju), nego samo statističke svojstva. Prema današnjim spoznajama kompletna informacija je sadržana u korelacijskoj funkciji

$$\left\langle \frac{\delta T}{T}(\hat{n}) \frac{\delta T}{T}(\hat{n}') \right\rangle_{\hat{n} \cdot \hat{n}' = \cos \vartheta} = f(\vartheta) = \frac{1}{4\pi} \sum_l (2l+1) C_l P_l(\cos \vartheta)$$

(Usrednjeno preko svih  $\hat{n}, \hat{n}'$ ,  
uz uvjet  $\hat{n} \cdot \hat{n}' = \cos \vartheta$ .)

Legendreov  
polinom

$C_l$  - mjeri fluktuacije na kutnoj skali  $\frac{\pi}{l} = \frac{180^\circ}{l}$

često se određuje/cte veličina

$$\Delta_T(l) \equiv \sqrt{\frac{(2l+1)C_l}{2\pi}} \quad [K]$$

Zbog nehomogenosti gustoće (uglavnom DM koje ima 5x više od bariona, a u vrijeme rekombinacije i od zračenja)

varijacija gravitacijskog potencijala je  $\delta\phi$ , a posljedice varijacije temperature

$$\frac{\delta T}{T} = \frac{1}{3} \frac{\delta\phi}{c^2} \quad (\text{Sachs-Wolfe efekt})$$

↑  
Dva suprotna efekta:

- fotoni su malo zgušnjeli
- gube energiju pri izlasku iz potencijalnog jarka

Akustičke oscilacije - titranje foton-barijon plazme u grav. potencijalu (vlastitom + od DM)



Detaljn spektar oscilacija ovisi o spektru zgušnjavanja DM, no najveća moguća valna dužina je određena brzinom zvuka u plazmi i raspoloživim vremenom od velikog praska -  
 $\Rightarrow$  horizont zvuka  $d_s$  (kao (čern) horizont, ali  $u + c \rightarrow v_s$ )

$$v_s^2 = \left. \frac{\partial P}{\partial \rho} \right|_{s=\text{const}} = w c^2 \quad v_s \approx \frac{c}{\sqrt{3}}$$

Prave udaljenost do izvora danas  $d_{p,0} = \int_0^r dr = r = c \int_{t_e}^{t_0} \frac{dt}{a(t)}$ ,  
 a u vrijeme zasluge raspršenja  $d_{p,s} = a_{e,s} \cdot r$

$$\Downarrow \quad d_s = a_{e,s} \cdot v_s \int_0^{t_{e,s}} \frac{dt}{a(t)}, \quad a(t) = \frac{1}{1+z} = \left( \frac{t}{t_0} \right)^{\frac{2}{3(1+w)}} \quad \left( \text{za jednobarijonski neutralni svemir} \right)$$

kao redi do vremena

$$d_s \approx \left( \text{vid polje} \right) = -a_{e,s} \frac{v_s}{H_0} \int_{\infty}^{z_{e,s}} dt (1+z)^{-3/2} = \frac{2v_s}{H_0} a_{e,s} \underbrace{(1+z_{e,s})^{-1/2}}_{1/a_{e,s}}$$

$$d_s = \frac{2v_s}{H_0} (a_{e,s})^{3/2} = 0.141 \text{ Mpc} \leftarrow \text{"standardno rasvjetlo"}$$

za udaljenost lutnog prostora (najbolje koje znamo)

$$d_{A,e,s} = \frac{d_{p,e,s}}{1+z_{e,s}} \approx \frac{d_{p-\text{hor},0}}{1+z_{e,s}} = \frac{14 \text{ Gpc}}{1090} = 12.8 \text{ Mpc}$$

$\left\{ \begin{array}{l} \text{udaljenost do } e_s \text{ nije jako osjetljiva od udaljenosti} \\ \text{do velikog praska} \end{array} \right.$

$$\mathcal{D}_s = \frac{d_s}{d_{A,e,s}} = \frac{0.141}{12.8} = 0.011 \quad \left( \approx 1^\circ \right), \quad e \sim \frac{\pi}{2\theta_s} \sim 200 \rightarrow \text{u skladu s eksperimentalnim}$$

(Planck:  $\mathcal{D}_s = 0.0104131 \pm 0.0000062$ )

pozitivni mjeri:  
 $\theta_s = 0.010 \sqrt{\Omega_s} \leftarrow$  (pravno mjerenje geometrije svemira.)

8.

RBW

~~Theoretical approach to JWV~~

~~$E_g \propto T^4$~~ ,  ~~$E_g = E_{g,0} a^4$~~

$$\frac{E_g}{E_{g,0}} = \frac{\propto T^4}{\propto T_0^4} = \frac{a^4 = 1}{a^4} \Rightarrow T \propto \frac{1}{a}$$

$$T(t) = \frac{T_0}{a} \quad \left\{ \begin{array}{l} \text{for reden.} \\ \text{radiation} \end{array} \right. \quad a = \left( \frac{t}{t_0} \right)^{1/3} + \frac{2}{3(HW)}$$

$$T(t) = T_0 \sqrt{\frac{t_0}{t}} = \frac{T_0}{\sqrt{2H_0}} \frac{1}{\sqrt{t}}$$

$$= \sqrt{\frac{t_0}{t}}$$
$$t_0 = \frac{1}{2H_0}$$

$$kT(t) = \frac{kT_0}{\sqrt{2H_0}} \frac{1}{\sqrt{t}}$$

↑  
vols approx (per Ho is  
kubsko v  
metru-kombinovan)

$$= \frac{8.62 \times 10^{-5} \text{ eV/K} \cdot 2.755 \mu}{\sqrt{2.62 \text{ km/s}^2}} = 1.1 \times 10^6 \text{ eV} \frac{1}{\sqrt{t}}$$

$$\langle E_g \rangle = 2.7 kT \approx \frac{3 \text{ MeV}}{\sqrt{t}}$$

$$\begin{array}{l} \sim 1 \text{ MeV} \\ T = 10^{10} \text{ K} \frac{1}{\sqrt{t}} \\ \uparrow 1 \text{ eV} = 11600 \text{ K} \end{array}$$

$p + n = D + 2.22 \text{ MeV}$        $\text{noting } \sim 1 \text{ sec}$

als we know better how:

$$\frac{Q_{\text{reem}}}{Q_{\text{dent}}} \approx \frac{T_{\text{deem}}}{T_{\text{dent}}} \approx \frac{7.22 \times 10^6 \text{ eV}}{13.6 \text{ W}} = 1.6 \times 10^5$$

$$\Rightarrow T_{\text{dent}} = 1.6 \times 10^5 \times 376.2 \text{ K} = 6.1 \times 10^8 \text{ K} \quad \Leftrightarrow 53 \text{ keV}$$

~~t = (2 MeV / 53 keV)~~  $\left( \frac{10^{10} \text{ u}}{6.1 \times 10^8 \text{ u}} \right)^2 \sim 300 \text{ s}$   
 "10m 3 minute"



all protons je vrlo efekativno

t = 0.1 s  $\langle E_\gamma \rangle \sim 10 \text{ MeV}$

$n + \bar{\nu}_e \leftrightarrow p + e^-$   
 $n + e^+ \leftrightarrow p + \bar{\nu}_e$   
 $n \leftrightarrow p + e^- + \bar{\nu}_e$   
 $\gamma + \gamma \leftrightarrow e^+ + e^-$

$\left[ \begin{array}{l} \text{7. po ovom} \\ \text{vremenu} \\ \text{p + p} \end{array} \right] \leftrightarrow \gamma + \gamma$

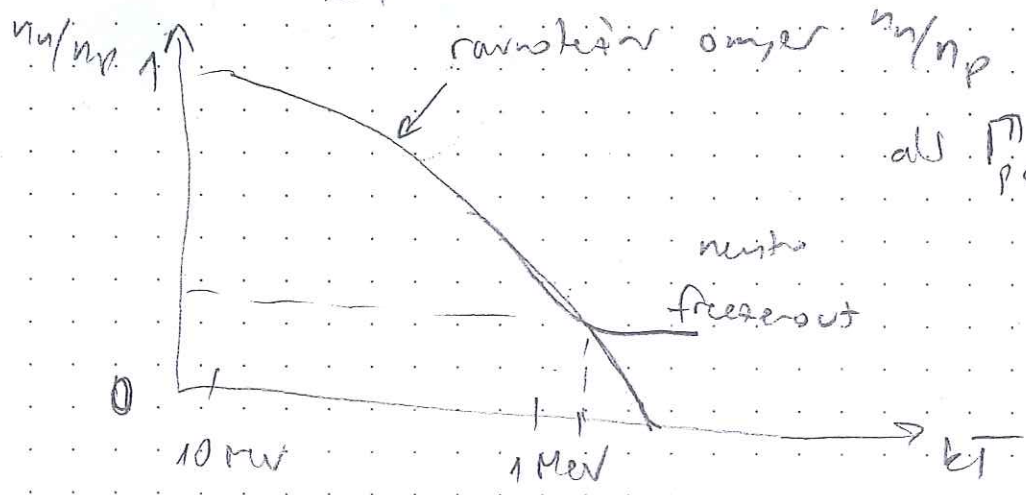
time je dovoljno je i u ravnosti!

~~$n_p/n_n = 1.29$~~   $n_p/n_n = 1.29$

$m_{n/p} c^2 \gg kT \rightarrow$  NR raspodela:

$n_x = g_x \left( \frac{m_x kT}{2\pi \hbar^2} \right)^{3/2} e^{-m_x c^2 / kT}$

$\frac{n_n}{n_p} = \left( \frac{m_n}{m_p} \right)^{3/2} e^{-\frac{(m_n - m_p) c^2}{kT}}$   
 $\approx 1$   $\equiv Q_n = 1.29 \text{ MeV}$



all  $\tau_{p \rightarrow n} \sim H$  in  
 $kT = 0.8 \text{ MeV}$

$t \ll \tau_n$  irrelevant

$$\left. \frac{n_p}{n_p} \right|_{\substack{\text{at} \\ \text{neutron} \\ \text{freeze-out}}} = e^{-1.29/0.2} = 0.2$$

Primordial nucleosynthesis (BBN)

~~...~~ n se nece polako raspadaju  
 6h se ne vece u D



$$\frac{n_D}{n_p n_n} = \frac{g_D}{g_p g_n} \left( \frac{m_D}{m_p m_n} \right)^{3/2} \left( \frac{kT}{2\pi \hbar^2} \right)^{-3/2} e^{-(m_p + m_n - m_D)/kT}$$

J(0) = 1  
 $g_D = 1$

$$\Rightarrow \frac{n_D}{n_p n_n} = 6 \left( \frac{m_n kT}{\pi \hbar^2} \right)^{-3/2} e^{B_D/kT}$$

BBN  
 "Salu"  
 eq

$n_p = 0.8 n_b = 0.8 \eta n_\gamma$   
 { i.e. 0.2 su neutron. }

$$\frac{25(3)}{\pi^2} \left( \frac{kT}{\hbar c} \right)^3$$

$$\frac{n_D}{n_n} = 65 \eta \left( \frac{kT}{m_n c^2} \right)^{3/2} e^{B_D/kT}$$

$n_n = n_D \rightarrow$  numerically:  $kT_{nuc} = 0.066 \text{ MeV}$

$\Rightarrow 7.67 \times 10^8 \text{ K}$

$t \approx \left( \frac{10^{10}}{T_{nuc}} \right)^2 \approx 200 \text{ sec}$   
 S.W. "primordial"

~~n~~  $n_n(t) = n_n(0) e^{-t/\tau}$ ,  $\tau = 880 \Delta$

$e^{-200/880} = 0.8$

$\frac{n_n}{n_p} = 0.2 = \frac{1}{5} \rightarrow \frac{1 \cdot 0.8}{5 + 0.2} = 0.15$

D se primarno spozna v He  
masel

U srevim obino opazimo  $\gamma$  v lici

~~beta~~ helij  $He^4$  ~~beta~~  $2n \rightarrow He$   
 $2p \rightarrow He$

~~$\gamma = \frac{m_{He}}{m_H} = \frac{4 \cdot N_{He}}{N_H}$~~

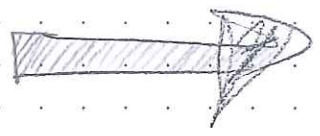
$\gamma = \frac{m_{He}}{m_{He} + m_H} = \frac{4N_{He}}{4N_{He} + N_H} = \frac{2N_n}{2N_n + (N_p - N_n)} = \frac{2N_n}{N_n + N_p}$

~~$\frac{N_{He}}{N_H} = \frac{N_n}{N_p - N_n}$~~

$= \frac{2 \cdot n/n_p}{1 + n/n_p}$

$N_n = 2N_{He}$   
 $N_p = N_H + 2N_{He}$   
 $N_H = N_p - 2N_{He} = N_p - N_n$

$= \frac{2 \cdot 0.15}{1 + 0.15} = 0.26$



- Najon He stira sli per ~~re~~  $A \approx 8,5$  (u. ~~ni~~  $3 \times 2 \rightarrow C$ )
  - Stvari se reže  $\gamma$  v Be  $n \approx 5-7 \times 10^5$
  - Računski lodi  $\sigma(T) \Rightarrow n_x(\tau) = ?$  ( $\rho_b \approx 0.04$ )
- Uključno D se vso spektra  $\gamma - \alpha D \neq \gamma - \alpha H$

Inflacija1. Problem ravnosti

Friedmanovci:

$$1 - \Omega(t) = - \frac{kc^2}{R_0^2 a(t)^2 H(t)^2}$$

danas,  $t=t_0$ ,  $a(t_0)=1$ :

$$1 - \Omega_0 = - \frac{kc^2}{R_0^2 H_0^2}$$

Uvrstimo gore:

$$1 - \Omega(t) = \frac{(1 - \Omega_0) H_0^2}{a(t)^2 H(t)^2}$$

Također

$$\frac{H(t)^2}{H_0^2} = \frac{\Omega_{r,0}}{a^4} + \frac{\Omega_{m,0}}{a^3} + \Omega_{\Lambda,0} + \frac{1 - \Omega_0}{a^2}$$

dominira za  $t < t_{\text{m}} \approx 10 \text{ Ga}$ 

$$\left[ 1 - \Omega(t) = \frac{(1 - \Omega_0) a^2}{\Omega_{r,0} + a \Omega_{m,0}} \right]$$

Danas mijenja:  $|1 - \Omega_0| \leq 0.005$ , pa u vrijeme  $t_{\text{m}}$   
kad je  $a_{\text{m}} \approx 2.9 \times 10^{-4}$ 

$$|1 - \Omega_{\text{m}}| \leq \frac{0.005 \cdot (2.9 \times 10^{-4})^2}{9 \times 10^{-5} \times 2} \approx 2.5 \times 10^{-6}$$

i to se i dalje smanjuje kako idemo prema velikom  
prastaru. Npr

$$|1 - \Omega_{\text{BBN}}| \leq 10^{-15} \quad \leftarrow \text{ne očekujemo tako mali brojke slučajno}$$

Pitajmo se onda  $1 - \Omega(t) = 1 - \Omega_0 = 0$ , ali zašto??↓  
"Problem ravnosti"

2. Problem horizonta

(čestičn) horizont: 
$$d_{hor} = c \int_0^{t_0} \frac{dt}{a(t)} \approx 14 \text{ Gpc}$$
 referentni model (naš svet)

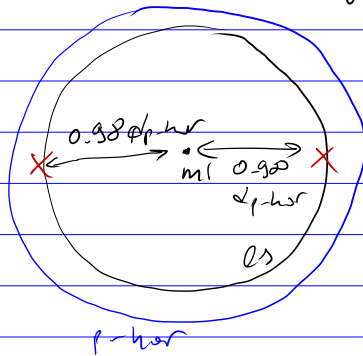
Istovremeno, prava udaljenost do površine zadnjeg raspršenja fotona:

$$d_{ls} = c \int_{t_{ls}}^{t_0} \frac{dt}{a(t)} \approx d_{p-hor}$$

$t_0 = 13.7 \text{ Ga}$   
 $t_{ls} \approx 0.0004 \text{ Ga}$

Točnije  $d_{ls} = 0.98 d_{p-hor}$

Na ondu su antipodalne točke površine zadnjeg raspršenja na rubu sigurno jedna drugoj istovremeno horizonta



Na, ako nisu nikad bile u kontaktom kako je moguće da su međusobno termalizirane (na istoj  $T_{CMB} = 2.75 \text{ K}$ )?

Možemo i točnije odrediti dio površine zadnjeg raspršenja koja jest bila u kontaktom.

Određiti smo bili udaljenost kutnog promjera do površine ls

$$d_{A, ls} = 12.8 \text{ Mpc}$$

te zračni horizont u  $t = t_{ls}$

$$d_h = \frac{2ws}{H_0} (a_{ls})^{3/2} = 0.141 \text{ Mpc}$$

Za čestičn horizont u  $t = t_{ls}$  samo zamjenimo  $v_s \rightarrow c$  pa kako je  $v_s = c/\sqrt{3}$

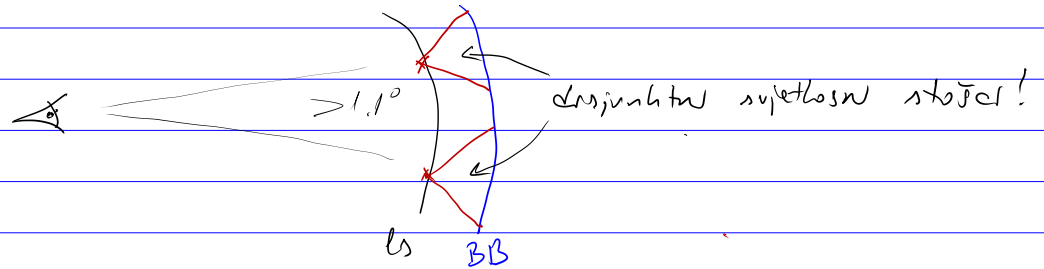
$$d_{p-hor} = \sqrt{3} d_h = 0.25 \text{ Mpc}$$

Pa po definiciji  $d_A$  imamo

$$\vartheta_{hor} = \frac{d_{hor}(t_{es})}{d_{A,es}} = \frac{0.25 \text{ Mpc}}{12.8 \text{ Mpc}} \approx 0.02 \approx 1.1^\circ$$

Dakle, očekival bi da područje na nebu udaljenosti od  $\sim 1.1^\circ$  imaju različitosti  $T_{CMB}$ , što nije slučaj  $\rightarrow$  „problem horizonta“.

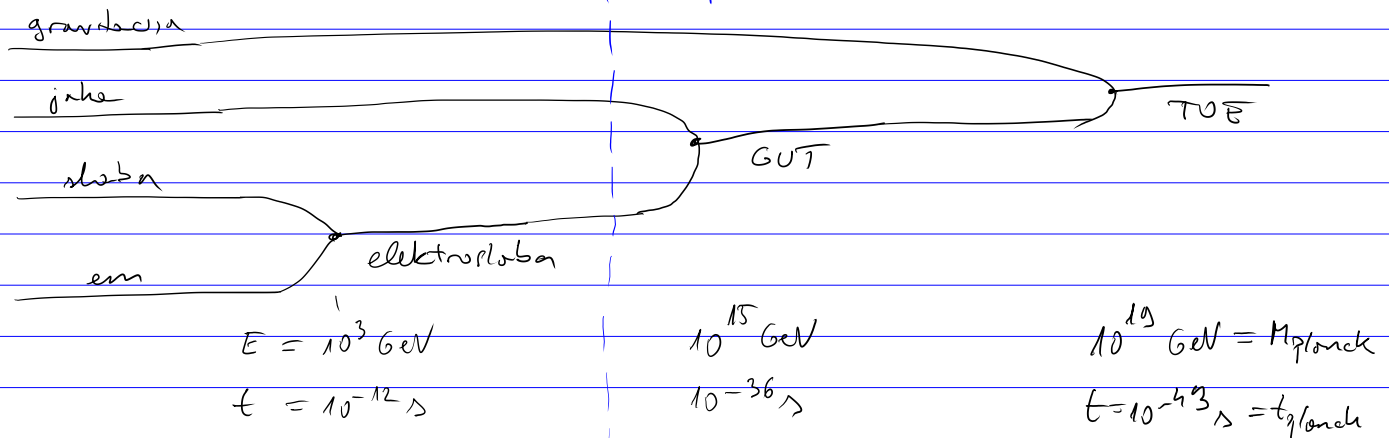
Alternativa:



### 3. Problem monopola

Ujednajenje sila u prirodi

$\Rightarrow$  hipotetički



ovaj teorij prijelaz  
 uključuje topološke defekte:  
 magnetske monopole

otporlike polov unutar svake komarne komene,  $d_{hor}(t_{GUT}) \sim ct_{GUT}$

$$n_{monopole} \sim \frac{1}{(ct_{GUT})^3} = \frac{1}{(3 \times 10^8 \text{ m/s} \cdot 10^{-36} \text{ s})^3} \sim 10^{82} \text{ m}^{-3}$$

zračenje svjetlos komnira u  $t_{GUT}$ , ali monopoli bi trebali  
 preneti komniraju oko  $t \sim 10^{-16} \text{ s}$  i komnirati ne  
 do danas, no ne opažamo ih. (Problem monopola)

Inflacija: period ubrzanog širenja ravnog svemira

Jednačina ubrzanja

$$\frac{\ddot{a}}{a} = -\frac{4\pi G}{3c^2} (\epsilon + 3p)$$

kaže da širenje može biti ubrzanos ako je  $p < -\frac{\epsilon}{3}$

npr. za jednokomponentni svemir  $w < -\frac{1}{3}$

To je najjednostavnije postići pozitivnom  $\Lambda_i$  ( $w = -1$ )

$$p_{\Lambda_i} = -\epsilon_{\Lambda_i} \quad \left. \begin{aligned} \frac{\ddot{a}}{a} &= \frac{8\pi G}{3c^2} \epsilon_{\Lambda_i} = \frac{c^2}{3} \Lambda_i \left\{ = \frac{1}{3} \Lambda_i^{(ryden)} \right\} > 0 \\ &\quad \uparrow \\ &\quad \text{odgovor} \end{aligned} \right\}$$

( $\Lambda_i \neq \Lambda$  (iz referentnog modela današnjeg svemira))

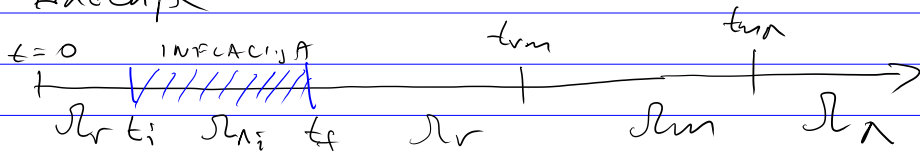
Friedmannova j:

$$H^2 = \frac{\dot{a}^2}{a^2} = \frac{8\pi G}{3c^2} \epsilon_{\Lambda} = \frac{c^2 \Lambda_i}{3}$$

$$H_i = \sqrt{\frac{c^2 \Lambda_i}{3}} = \text{const} = \frac{\dot{a}}{a} = \frac{da}{dt} \frac{1}{a} \quad \int$$

$$a(t) \propto e^{H_i t} \leftarrow \text{eksponencijsno širenje} \checkmark$$

Pretpostavimo da je period inflacije unutar perioda dominacije zračenja



dominacija

$\Omega_r$ :  $a(t) \propto \sqrt{t}$  tj.  $\frac{a(t)}{a_i} = \sqrt{\frac{t}{t_i}}$   $t < t_i$

$\Omega_{\Lambda_i}$ :  $\frac{a(t)}{a_i} = e^{H_i(t-t_i)}$   $t_i < t < t_f$

$$\frac{a(t_f)}{a(t_i)} = e^{H_i(t_f-t_i)} \equiv e^N \quad N = H_i(t_f-t_i) \equiv \text{"broj e-strukostri"} \quad (\text{"e-folding"})$$

Uzmimo da je  $t_i = t_{GUT} = 10^{-36}$  s

$$H_i \approx \frac{1}{t_{GUT}} \approx 10^{36} \text{ s}^{-1}$$

$$t_f = \frac{N}{H_i} + t_i = (N+1)t_{GUT}$$

Kako inflacija rješava problem ravnosti i koliko je  $N$  potrebno?

$$1 - \Omega = -k \frac{c^2}{R_0^2 a^2 H^2}$$

$$\Omega > 1 \Rightarrow k = +1$$

$$\Omega < 1 \Rightarrow k = -1$$

$$|1 - \Omega(t)| = \frac{c^2}{R_0^2 a(t)^2 H(t)^2} \quad \text{ako } k \neq 0$$

Za vrijeme inflacije

$$|1 - \Omega(t)| = \frac{c^2}{R_0^2 H_i^2 a_i^2} e^{-2H_i(t - t_i)}$$

$$|1 - \Omega(t_i)| = \frac{c^2}{R_0^2 H_i^2 a_i^2}$$

$$|1 - \Omega(t_f)| = |1 - \Omega(t_i)| e^{-2N}$$

eksponencijalna potisnuta ne-ravnost u  $t_f$

Uzmimo da je  $|1 - \Omega(t_i)| \sim 1$ , a namo  $|1 - \Omega_0| < 0.005$

što ekstrapoliramo unatrag do  $t_f = (N+1)t_{GUT}$

$$\frac{a(t_f)}{a_{rm}} = \sqrt{\frac{t_f}{t_{rm}}}$$

$$a_{rm} = 2.9 \times 10^{-4}$$

$$t_{rm} = 50 \text{ ka.}$$

$$a(t_f) = \frac{a_{rm}}{\sqrt{t_{rm}}} \sqrt{t_{GUT}} \sqrt{N+1} = \frac{2.9 \times 10^{-4} \sqrt{10^{-36}}}{\sqrt{50 \text{ ka} \cdot 3.1 \times 10^7 \text{ s/a}}} \sqrt{N+1}$$

$$= 2.3 \times 10^{-28} \sqrt{N+1}$$

$$1 - \Omega(t_f) = \frac{(1 - \Omega_0) a(t_f)^2}{\Omega_{r,0}} = \frac{0.005}{9 \times 10^{-5}} (2.3 \times 10^{-28})^2 (N+1)$$

$$= 3 \times 10^{-54} (N+1) \sim e^{-2N}$$

$$\Rightarrow \underline{N} = -\frac{1}{2} \ln(3 \times 10^{-54}) = \frac{1}{2} \ln(N+1) \approx \underline{60}$$

-123

minimalni broj  
e-stabilnosti  
inflatorne ekspanzije

Kako inflacija rješava problem horizonta?

$$d_{hor}(t) = a(t) c \int_0^t \frac{dt}{a(t)}$$

dominacija zračenja:  $a(t) \propto \sqrt{t}$        $\frac{a(t)}{a(t_i)} = \sqrt{\frac{t}{t_i}}$

inflacija:  $a(t) \propto e^{H_5 t}$

$$d_{hor}(t_f) = \underbrace{a(t_f)}_{e^N a(t_i)} c \int_0^{t_f} \frac{dt}{a(t)} = a(t_i) e^N c \left\{ \underbrace{\int_0^{t_i} \frac{dt}{\sqrt{t/t_i}}}_{\sqrt{t_i} \left[ \frac{t^{1/2}}{1/2} \right]_0^{t_i} = 2t_i} + \int_{t_i}^{t_f} \frac{dt}{\sqrt{t/t_i} \exp(H_5(t-t_i))} \right\}$$

$$= \frac{1}{H_5} - \frac{1}{H_5} e^{-H_5(t_f-t_i)} \approx \frac{1}{H_5} \quad (e^{-H_5(t_f-t_i)} \ll 1)$$

$$d_{hor}(t_f) \approx e^N c (2t_i + H_5^{-1}) \approx e^N c 3t_i \quad (t_i = t_{cur} = 10^{-36} s)$$

$$d_{hor}(t_i) = 2ct_i = 2 \times 3 \times 10^8 \text{ m/s} \cdot 10^{-36} s = 6 \times 10^{-28} \text{ m}$$

$$d_{hor}(t_f) = e^N \cdot \frac{3}{2} \cdot 6 \times 10^{-28} \text{ m} = \{N=65\} = 15 \text{ m}$$

Udaljenost do gube trenutnog raspršenja danas:  $d_p(t_0) \approx d_{hor}(t_0) \approx 14 \text{ Gpc}$

To je na kraju inflacije bilo manje za faktor

$$a(t_f) = 2.3 \times 10^{-28} \sqrt{65+1} = 2 \times 10^{-27}$$

$t_f$ :  $d_p(t_f) = a(t_f) d_p(t_0) = 0.9 \text{ m}$  ← naš svemir nakon inflacije  
 a prije inflacije

$$d_p(t_i) = e^{-N} d_p(t_f) = 5 \times 10^{-29} \text{ m} \leftarrow \text{ili prije inflacije}$$

što sve stane u tadašnji horizont  
 $d_{hor}(t_i) = 6 \times 10^{-28} \text{ m}$  ✓

- Ekspozicija za faktor  $e^{65}$  toliko razrijeđuje monopole  
da manje od jednog u vidljivom svemiru.

Dakle svi problemi su riješeni. Preostala pitanja:

1. Što uključuje i isključuje inflaciju u  $t_i$  i  $t_f$ ?
2. Želite li i druge čestice (npr. fotoni) ne razrijeđuje kao monopoli?  
nakon inflacije:  $T = e^{-N} T_{\text{GUT}} < 1 \text{ K}$  !?
3. Otkud, nakon tako ekstremnog "razrjeđenja",  
 $\frac{\delta E}{E} \sim e^{-N} \sim 10^{-28}$ ,  
fluktacije gustoće u  $t = t_{\text{GUT}}$  ( $\frac{\delta E}{E} \sim 10^{-5}$ ) od kojih nastaje struktura?

Za odgovore treba nam konkretni model inflacije.

Skalarno polje  $\phi$ . Klasična teorija polja  $\rightarrow$  tenzor energije  
impulsa  $T_{\mu\nu} \rightarrow \epsilon_\phi, p_\phi$

$$\epsilon_\phi = \frac{1}{2\hbar c^3} \dot{\phi}^2 + V(\phi) \approx V(\phi)$$

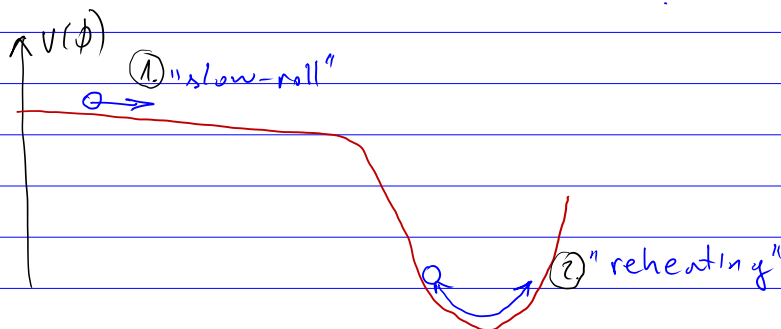
$$p_\phi = \frac{1}{2\hbar c^3} \dot{\phi}^2 - V(\phi) \approx -V(\phi)$$

uključuje  $\dot{\phi}^2 \ll V(\phi)$

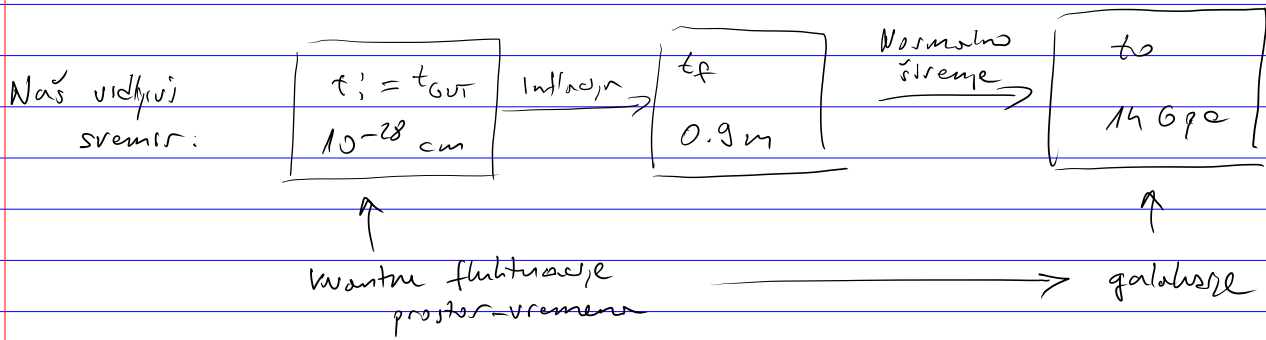
$$\boxed{p_\phi = -\epsilon_\phi}$$

pa se  $\phi$  ponaša kao  $\Lambda$ .

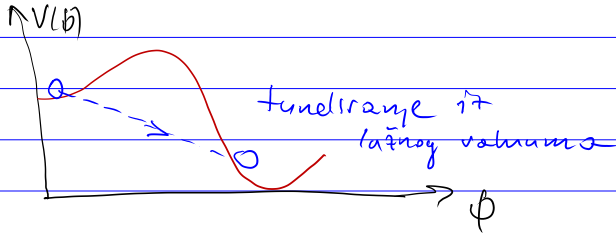
Dovoljno mal  $\phi$  može se postići s  $V(\phi)$  koji se sporo mijenja:



Interakcijom s ostalim poljima  $\phi$  predaje svoju energiju  
i zagrijava svemir  $\rightarrow$  "pravi veliki prasak"  
 $\rightarrow$  stvaranje čestica koje vidimo danas  
 $\rightarrow$  fuzijevanje je na  $t < t_{\text{GUT}}$  pa se ne stvaraju novi monopoli



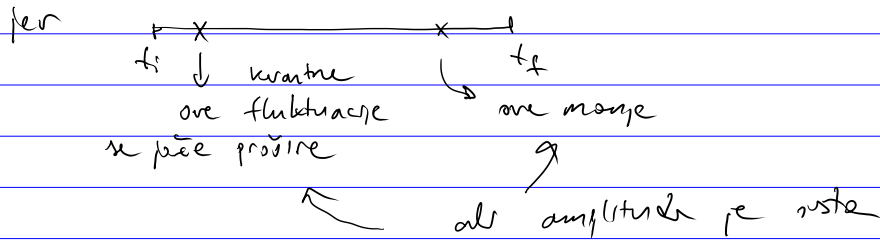
„Stara inflacija“ (A. Guth)



→ „graceful exit“ problem  
 (sva energija je u  
 opet mijenjanju  
 pravog minimuma)  
 koji se osim toga ne  
 uspiju spajati i teoriji  
 inflacije

Uspješna predviđanja inflacijske teorije:

1. svemir je ravan ( $\Omega \approx 1$ ) (čimko se događaje 80-ih)
2. Nejednolikosti CMB-a su neovisne o skali (spektralni indeks  $n \approx 1$ )



praktično rješenje  $n = 0.92 - 0.98$  („tilt“)

WMAP & Planck:  $n \approx 0.95$

Problemi (neki):

- „slow-roll“  $\Rightarrow V(\phi) = \lambda \phi^4$   $\lambda \sim 10^{-13}$  ← „fine tuning“

- vječne inflacije  $\rightarrow$  multiverse

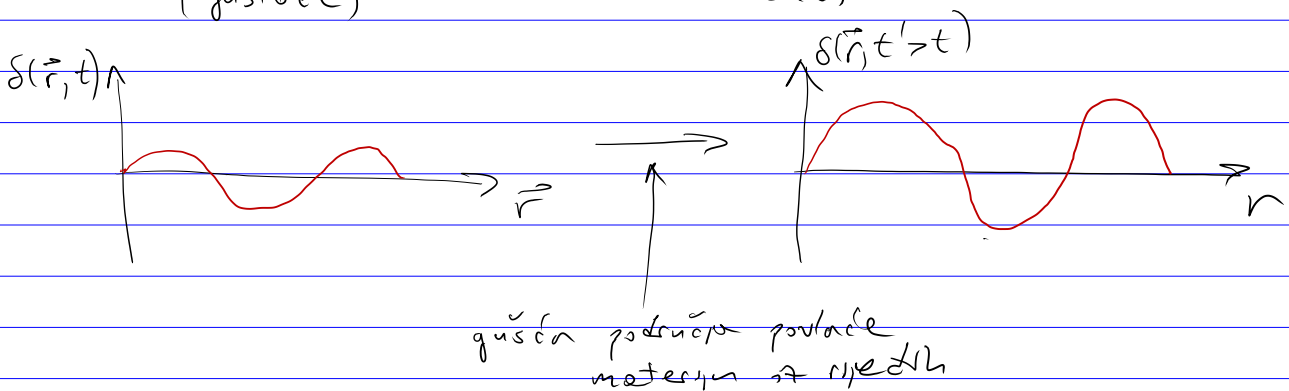
## Formiranje strukture: gravitaciona nestabilnost

- svemir je homogen na skalama  $\approx 100$  Mpc
- na manjim skalama nehomogenosti nisu po slučajno; raspodjela nego imaju strukturu:
  - na malim skalama: galaksije i, isto galaksije,
  - na velikim skalama: „mehurica“ struktura (materija je u „nitima“ (filaments), a odo su praznine (voids))

Glavni mehanizam formiranja strukture je: gravitaciona nestabilnost.

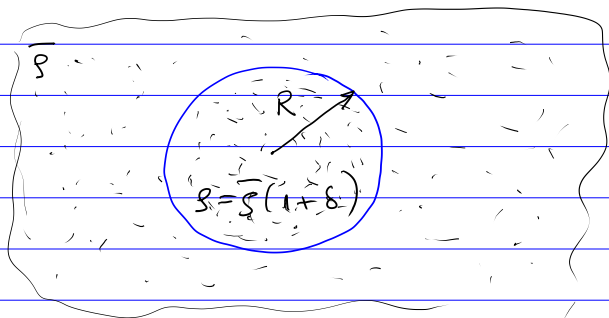
Prosječna gustoća energije  $\bar{\epsilon}(t) \equiv \frac{1}{V} \int d^3r \epsilon(\vec{r}, t)$

Kontrast:  $\delta(\vec{r}, t) \equiv \frac{\epsilon(\vec{r}, t) - \bar{\epsilon}(t)}{\bar{\epsilon}(t)}$   
(gustoće)



unutarnji pristup: statički homogeni svemir

$$\delta \ll 1$$



višak mase u sferi:

$$\Delta M = \frac{4\pi}{3} R^3 \bar{\rho} \delta$$

ubrzanje zbog  $\Delta M$ :

$$\ddot{R} = -G \frac{\Delta M}{R^2} \Rightarrow \frac{\ddot{R}(t)}{R(t)} = -\frac{4\pi G \bar{\rho}}{3} \delta(t)$$

$$\delta > 0 \Rightarrow \ddot{R} < 0 \text{ (kontrakcija)}$$

Očuvanje ukupne mase:

$$M = \frac{4\pi}{3} \rho(t) R(t)^3 = \frac{4\pi}{3} \bar{\rho} (1+\delta) R^3 = \text{const}$$

$$R(t) = \underbrace{\left(\frac{3M}{4\pi\bar{\rho}}\right)^{1/3}}_{\equiv R_0} (1+\delta)^{-1/3} \approx R_0 \left(1 - \frac{\delta(t)}{3}\right)$$

$\delta \ll 1$

$$\ddot{R} \approx -R_0 \frac{\ddot{\delta}}{3} \approx -R \frac{\ddot{\delta}}{3} \Rightarrow \frac{\ddot{R}}{R} = -\frac{\ddot{\delta}}{3}$$

$$\Rightarrow \boxed{\ddot{\delta} = 4\pi G \bar{\rho} \delta}$$

ansatz  $\delta(t) = A e^{\pm t/t_{\text{dyn}}}$  jednu brzinu za veliku  $t$

$$A \frac{1}{t_{\text{dyn}}^2} e^{t/t_{\text{dyn}}} = 4\pi G \bar{\rho} A e^{t/t_{\text{dyn}}} \Rightarrow t_{\text{dyn}} = \frac{1}{\sqrt{4\pi G \bar{\rho}}}$$

$$t_{\text{dyn}} \approx 9.6 \text{ h} \left(\frac{\bar{\rho}}{1 \text{ kg m}^{-3}}\right)^{-1/2}$$

Imamo ekspanzivni kontraktivni bez obzira na  $R$  ili  $\delta(t)$ !

No, gravitacijskom saštimanju se opire tlaka.

$$p = \frac{kT}{\underbrace{mc^2}_w} \epsilon \quad (\text{vidi P-03, 4. poglavlje})$$

Ryden

Upravo zbog ovog gradijenta tlaka ne stvaraju trenutne nego brzinske avulke  $c_s = \sqrt{w} c$  pa da bi uravnotežilo podnivoje polimera  $R$  treba mu vrijeme

$$t_{\text{pre}} \sim \frac{R}{c_s}$$

pa ako je  $t_{\text{pre}} > t_{\text{dyn}}$

svejedno dolazi do kolapsa.

$t_{pre}$  ovisi o  $R$ , a razlika od  $t_{dyn}$  govori se  
granična situacija obrnuto Haušara prelo

Jeansova duljina  $\lambda_J$ :

$$t_{dyn} = \frac{1}{\sqrt{G\rho}} = \sqrt{\frac{c^2}{G\rho}} \sim t_{pre} \sim \frac{\lambda_J}{c}$$

$$\lambda_J = c_s \sqrt{\frac{c^2}{G\rho}}$$

Pačljivost račun:

$$\lambda_J = c_s \sqrt{\frac{\pi c^2}{G\rho}} = 2\pi c_s t_{dyn}$$

Područje manje od  $\lambda_J$  samo oscilira; veća područja  
su podložna gravitacijskoj nestabilnosti i sažimanju.

Alternativno: Jeansova masa:  $M_J = \rho \left( \frac{4\pi}{3} \lambda_J^3 \right)$

U kozmološkom kontekstu  $t_{dyn} \sim \frac{1}{H}$

$$\text{pa je } \lambda_J \sim 2\pi \sqrt{w} \frac{c}{H}$$

$$\text{za } w = \frac{1}{3} \Rightarrow \lambda_J \sim \frac{c}{H}$$

i nema sažimanja.

za sažimanje trebamo  $w \ll 1 \Rightarrow NR$  tvar

Na prije razmatranje računje ne da barionsko; treba  
da se sažme. Tek nakon razmatranja imaju oblik

$$w = \frac{kT_{bar}}{mc^2} = \frac{0.26 \text{ eV}}{1.14 \text{ GeV}} \Rightarrow c_s = \sqrt{w} c = 1.5 \times 10^{-5} c$$

↑  
uhvaćuje 2%  
helija

pa se sugubujući  $\lambda_J$  mijenja:  $10 \text{ Gpc} \rightarrow 0.1 \text{ Mpc}$  (galaktička  
skala)  
i galaksije se mogu početi formirati (tj. njihova barionska  
komponenta)

Gravitacijska nestabilnost u ekspanirajućem svemiru

U statičkoj situaciji masu za strukturu veće od  $\lambda_J$  imamo eksponencijsku rast kontrasta

$$\delta \propto e^{t/t_{dyn}}$$

Friedmann za  $k=0$ :  
 $H^2 = \frac{8\pi G}{3c^2} \epsilon$

$$t_{dyn} = \sqrt{\frac{c^2}{4\pi G \bar{\epsilon}}}$$

No svemir se širi  
u vremenskom skalam

$$H^{-1} = \sqrt{\frac{3c^2}{8\pi G \bar{\epsilon}}}$$

skala nagnanije

$\approx$   
 $\Downarrow$

skala širenja

Moramo oboje uzeti u obzir.

Opet njutonovsku pristup (kombinirano s njutonovskim izrazom Friedmannovog)

$$\ddot{R} = -\frac{GM}{R^2} = -\frac{G}{R^2} \frac{4\pi}{3} \bar{\rho} R^3$$

$$\frac{\ddot{R}}{R} = -\frac{4\pi}{3} G \bar{\rho} - \frac{4\pi}{3} G \bar{\rho} \delta$$

Opet, s druge strane, masa je očuvana:

$$M = \frac{4\pi}{3} \bar{\rho} (1+\delta) R^3 = const$$

$$\Rightarrow R \propto \bar{\rho}^{-1/3} (1+\delta)^{-1/3}, \text{ a kako } \bar{\rho} \propto \frac{1}{a^3}$$

$$R \propto a (1+\delta)^{-1/3} \approx (1 - \frac{\delta}{3})$$

(R uvijek raste, samo raste sporije gdje je  $\delta > 0$ .)

$$\dot{R} \propto \dot{a}(1 - \frac{\delta}{3}) - a \frac{\dot{\delta}}{3}, \quad \ddot{R} \propto \ddot{a}(1 - \frac{\delta}{3}) - \dot{a} \frac{\delta}{3} - \dot{a} \frac{\delta}{3} - a \frac{\ddot{\delta}}{3}$$

$$\frac{\ddot{R}}{R} = \frac{\ddot{a}}{a} - \frac{2}{3} \frac{\dot{a}}{a} \dot{\delta} - \frac{\ddot{\delta}}{3} + O(\delta^2)$$

$$= -\frac{4\pi G}{3} \bar{\rho} - \frac{4\pi G}{3} \bar{\rho} \delta$$

$\delta$  je pozitiven pa jednačina mora posebno vrijediti za

$$\delta = 0 : \quad \frac{\ddot{a}}{a} = -\frac{4\pi}{3} G \bar{\rho} \quad (\text{jednačina ubrzanja potpuno od ranije})$$

a posebno za članove linearne u  $\delta$ :

$$-\frac{1}{3} \ddot{\delta} - \frac{2}{3} \frac{\dot{a}}{a} \dot{\delta} = -\frac{4\pi G}{3} \bar{\rho} \delta$$

$$\ddot{\delta} + 2H \dot{\delta} = 4\pi G \bar{\rho} \delta$$

↑  
Hubbleova brzina (u statičkom slučaju samo imamo ovu jednačinu s  $H=0$ .)

Kao i kod Friedmannove j., potpunu relativističku tretman daje samo  $\bar{\rho} \rightarrow \bar{\epsilon}m/c^2$ . (Potrebno da se samo NR  $\Omega_m$  s  $w \ll 1$  sažima.)

Pa ovdje  $\epsilon_c = \frac{3c^2 H^2}{8\pi G}$  imamo

$$\ddot{\delta} + 2H \dot{\delta} - \frac{3}{2} \Omega_m H^2 \delta = 0$$

1. Dominantna brzina:  $\Omega_m \ll 1$ ,  $H = \frac{1}{2t}$

$$\ddot{\delta} + \frac{1}{t} \dot{\delta} = 0 \Rightarrow \delta(t) = B_1 + B_2 \ln t$$

$$\left\{ \begin{array}{l} \dot{\delta} = \frac{B_2}{t}, \quad \ddot{\delta} = -\frac{B_2}{t^2} \Rightarrow -\frac{B_2}{t^2} + \frac{1}{t} \left( \frac{B_2}{t} \right) = 0 \quad \checkmark \end{array} \right.$$

$\Rightarrow$  kontrast raste samo logaritamski,  $\rightarrow \rho \rightarrow 0$

2. Dominantna  $\Lambda$ :  $\Omega_m \ll 1$ ,  $H = H_\Lambda = \text{const}$

$$\ddot{\delta} + 2H_\Lambda \dot{\delta} = 0 \Rightarrow \delta(t) = c_1 + c_2 e^{-2H_\Lambda t}$$

$$\left\{ \begin{array}{l} \dot{\delta} = c_2 (-2H_\Lambda) e^{-2H_\Lambda t}, \quad \ddot{\delta} = c_2 (-2H_\Lambda)^2 e^{-2H_\Lambda t} \quad \checkmark \end{array} \right.$$

$\Rightarrow$  kontrast je konstantan

-6-

3. Dominantna materija:  $\Omega_m \approx 1$ ,  $H = \frac{2}{3t}$

$$\ddot{\delta} + \frac{4}{3t} \dot{\delta} - \frac{2}{3t^2} \delta = 0$$

$$\delta = D t^n: \quad \dot{\delta} = D n t^{n-1}, \quad \ddot{\delta} = D n(n-1) t^{n-2}$$

$$n(n-1) + \frac{4}{3} n - \frac{2}{3} = 0 \Rightarrow n = -1, \frac{2}{3}$$

$$\Rightarrow \delta(t) = D_1 t^{2/3} + D_2 \frac{1}{t}$$

dominantna za veliki  $t$

Za dominantnu materiju imamo:  $a(t) \propto t^{2/3}$

$$\propto \delta(t) \propto a(t) \propto \frac{1}{1+z} \rightarrow \text{D.K. formiranje strukture}$$

U <sup>SD</sup> ~~trm~~ <sup>trm</sup> počinje rasti kontrast zbog tamne materije, a barionska se priključuje u  $t_{\text{decoupling}} \approx 400$  ka.



$$P(k) = \langle |S_k|^2 \rangle$$

↑  
prosto  $\hat{k}$

U najjednostavnijem slučaju (koji je u skladu s eksperimentom) sva informacija relevantna

je sadržana u  $P(k)$

$$P(k) \propto k^{-n}$$

~~Harrison-Zeldovich~~  
~~skala~~

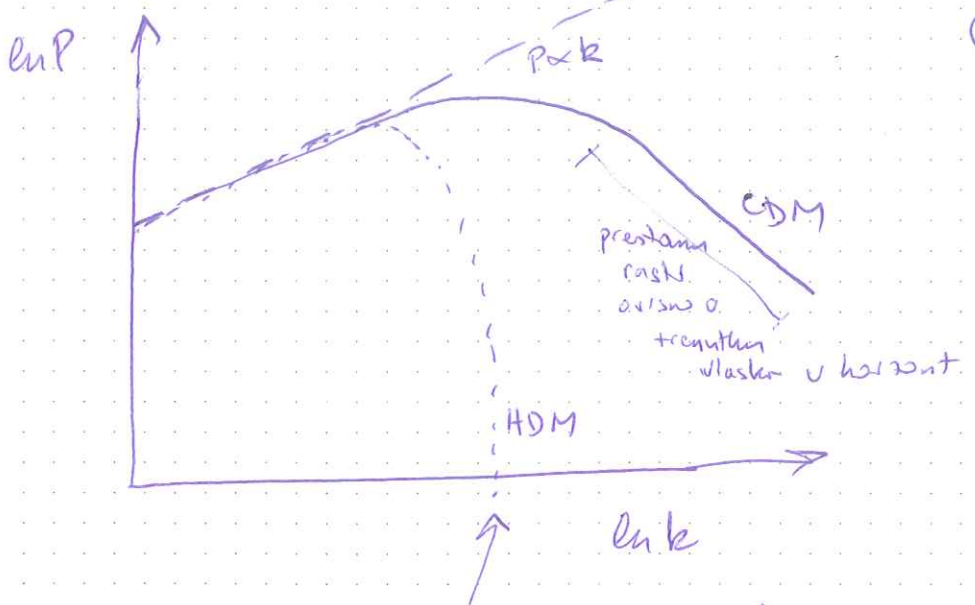
$n = 1$  : Harrison - Zeldovichov spektar  
(scale invariant)

inflacija :  $n = 0.97 - 0.98$

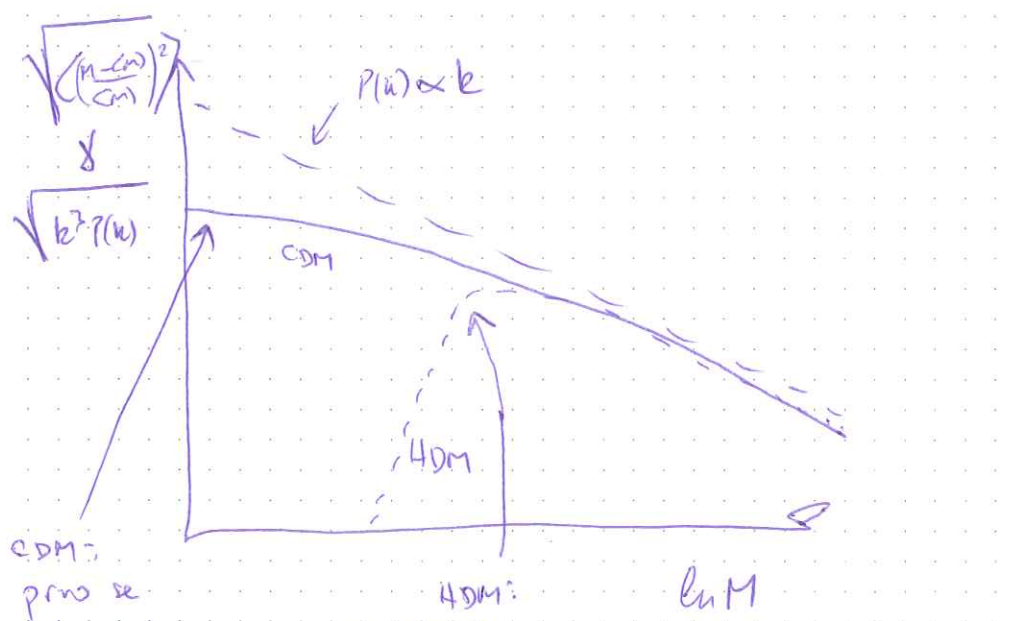
exp :  $n = 0.95 - 0.96$

Srednja fluktuacija mase u području središnjeg radijusa  $L$  :

$$\left\langle \left( \frac{M - \langle M \rangle}{\langle M \rangle} \right)^2 \right\rangle \propto k^3 P(k) \quad k = \frac{2\pi}{L}$$



za HDM model s velikim k su obicno free-streamingom relativističkih HDM čestica



CDM: prvo se stvaraju male strukture pa se angulaciono "bottom-up"

HDM: prvo se stvaraju velike strukture pa fragmentiraju "top-down"

BAO

U  $t_{\text{dec}}$  akustični horizont je imao foton (pram) veličinu

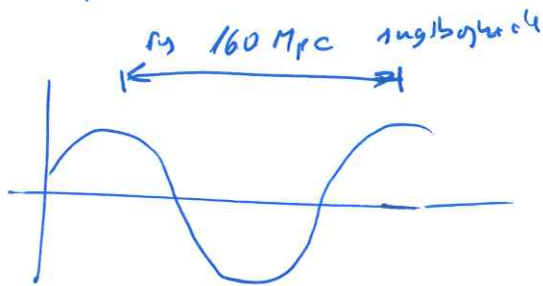
$$d_s(t_{\text{dec}}) = 0.145 \text{ Mpc} \quad (\text{vidi CMB pogledajte})$$

To odgovara sugubioj, lokalno kompenznoj, veličini

$$r_s = d_s(t_{\text{dec}})(1+z_{\text{dec}}) \approx 160 \text{ Mpc}$$

↑  
1090

Osim fotona i bariona su sudjelovali u tom titranju pa za najveći mod



očekujemo potpis u rasporedu galaksija danas.

Broj galaksija u volumenu  $dV$  na udaljenosti  $r$  od  $\bar{x}$  nije date galaksije

$$dN = \bar{n}_{\text{gal}} (1 + \xi(r)) dV$$

↑ korelacijska funkcija  
F.T. od  $P(k)$

Za random rasporedu očekujemo  $\xi(r) = 0$ .

BAO:  $\xi(r)$  ima bump na  $r = r_s = 160 \text{ Mpc}$  ✓

- Za razliku od CMB, BAO ima i 3. dimenziju: 7

Formiranje strukture: barioni i fotoni

- Vidjeti smo da u ekspanzijskom svemiru konstant  
gustoće  $\delta = \frac{\bar{\epsilon} - \bar{\epsilon}}{\bar{\epsilon}}$  raste

$$\delta \propto t^{2/3} \propto a \propto \frac{1}{1+z}$$

počevši od  $t_{in}$  (DM), odnosno  $t_{dec}$  (barioni)

- Inflacija vrijedi tako dugo postavlja spektral snage  $P(k)$

-  $r_s = d_s(t_{dec}) (1+z_{dec}) = 160 \text{ Mpc (BAO)} \rightarrow$  standard ruler

- barioni nakon  $t_{dec}$  su uglavnom neutralni ( $Y_p = 24\%$ ,  $H = 76\%$ )

- barion zvučnik: uglavnom konstantan  $X \approx 1$

- CMB se raspireuje na him ionizacionom plinu (otvoren kao prije  $t_{dec}$ )

ulupna amplituda:

optička dubina  $\tau_{*} = 0.066$  (1 od 15 CMB fotona se raspiše)  
(Planck)

Iz toga možemo odrediti trenutak reionizacije  $t_{*}$

$$\tau_{*} = \int_{t_{*}}^{t_0} \Gamma(t) dt = \int_{t_{*}}^{t_0} n_e \sigma_e c dt = \begin{cases} \text{protip. da je} \\ \text{reionizacija trenutna} \\ \text{u potpuno} \end{cases}$$

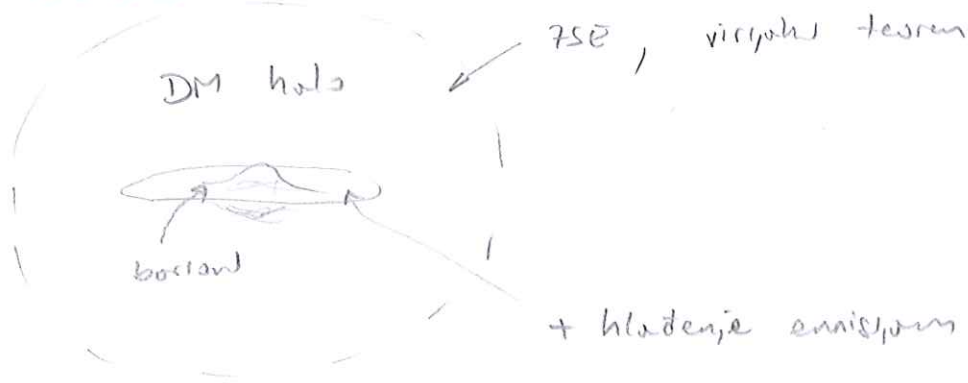
$n_e = n_b = \frac{n_{b,0}}{a^3} \quad t > t_{*}$

$$= \sigma_e c n_{b,0} \int_{t_{*}}^{t_0} \frac{dt}{a(t)^3} \rightarrow t_{*} \rightarrow \boxed{z_{*} = 7.8}$$

exp: Gunn-Peterson efekt

projekti reionizacije (AGN: prema ih, prije reionizacije; možda)  $\rightarrow$  21 cm upadna linija eksperimenti

Formiranje galaksija



$\delta_{rm} \ll 1 \leftarrow$  početni uvjeti

$\delta \propto a \propto \frac{1}{1+z} \rightarrow \delta$  raste do trenutka

$\delta \approx 1$  kad vlasnik u nekompresibilnom režimu, odvajanje se od Hubbleovog širenja i imamo sustav koji se počne sažimati

$\frac{\delta_{rm}}{\delta_{coll}} = \frac{1/(1+z_{rm})}{1/(1+z_{coll})}$

$\delta_{coll} \approx 1$   
↳ kolaps

$\Rightarrow (1+z_{coll}) = \delta_{rm} (1+z_{rm}) \leftarrow$  interakcija gravitacijska področje, prije kolapsiranja (za veći z)

u  $t_{coll}$  sva energija je potencijalna  $E = W_{coll}, K_{coll} = 0$

Nakon "virijalizacije" tj. danas:  $W + K = E = W_{coll} \quad (zSE)$

$W + 2K = 0 \quad$  (virijalizacija)

$\Rightarrow K = -\frac{W}{2} \quad W - \frac{W}{2} = W_{coll} \Rightarrow W = 2W_{coll}$

$W \propto \frac{1}{r} \Rightarrow R_{halo} = \frac{1}{2} R(t_{coll}) \Rightarrow \rho_{halo} = \delta \frac{\rho_{coll}}{\frac{R(t_{coll})}{R_{halo}}^3} \approx 1$

$\rho_{halo} = 16 \bar{\rho}(t_{coll}) = 16 \frac{\rho_{m,0}}{a_{coll}^3} = 16 \rho_{m,0} (1+z_{coll})^3$

↑ mjereno  $\rightarrow$  znamo  $z_{coll}$  kad je kolaps počeo. (Npr  $z_{coll} \approx 5$  za našu galaksiju)

-to je sve za DM koja dominira u Sm,0.

Bosoni mogu kolapsirati i deže (u galaktičke diskov)

ali im je na raspolaganju gubitak energije

emision (hladenje), ( $\vec{J}$  je teže gubitak  $\Rightarrow$  visk)

Hidrostatika ravnoteža:

$$T_{\text{gas}} \approx 1.0 \times 10^6 \text{ K} \left( \frac{M_{\text{bt}}}{10^{12} M_{\odot}} \right)^{2/3} \left( \frac{1 + Z_{\text{coll}}}{5} \right)$$

Mehanizam hladenja:

$T > 10^7 \text{ K}$  : plus je ugljikov ionizovan : bremsstrahlung

$10^4 < T < 10^6 \text{ K}$  : ima vezanih elektrona : linjske emisije

$T < 10^4 \text{ K}$  : za hladenje trebaju teži elementi  
ili molekule (rotacione/vibracijske linije)

Za  $M_{\text{bt}} \gg 10^{12} M_{\odot}$  višeme hladenje je predugo i

to postavlja granicu na veličinu galaksije.

Fakti kaže halo  $M \sim 10^{15} M_{\odot}$  nije mogao rezultirati  
samo jedinom super-galaksijom.

- Neki modeli predviđaju efikasn hladenje : brzo kolaps

$\rightarrow$  SN & AGN feedback reheating

$\rightarrow$  „cold flow“

$\rightarrow$  ZVIJEZDE - od hladnih molekularnih oblaka ( $T \sim 20 \text{ K}$ )

$\rightarrow M_{\text{J}} \sim 15 M_{\odot} \rightarrow$  sušavanje, hladenje ( $M_{\text{J}} \downarrow$ )  $\rightarrow$  fragmentacija